# ANCORAGEM E EMENDADE ARMADURAS



# 1. ADERÊNCIA ENTRE CONCRETO E ARMADURA

Fundamental para a existência do Concreto Armado (trabalho

conjunto entre os dois materiais).

#### Fenômeno da aderência:

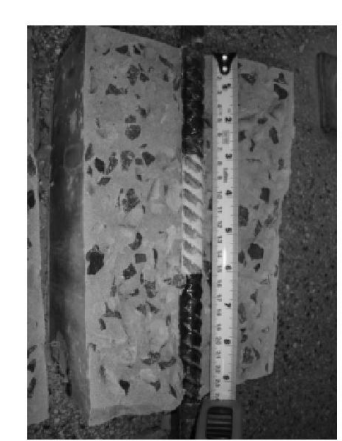
- a) mecanismo de transferência de força da barra de aço para o concreto adjacente;
- b) capacidade do concreto resistir a essa força.



Ruptura por fendilhamento



Vista superior de ruptura



Comprimento de ancoragem

#### 1. ADERÊNCIA ENTRE CONCRETO E ARMADURA

Transferência de força ocorre por ações químicas (adesão), por atrito e por ações mecânicas.

É função principalmente da textura da superfície da barra de aço e da qualidade do concreto.





#### 1.1 ADERÊNCIA POR ADESÃO

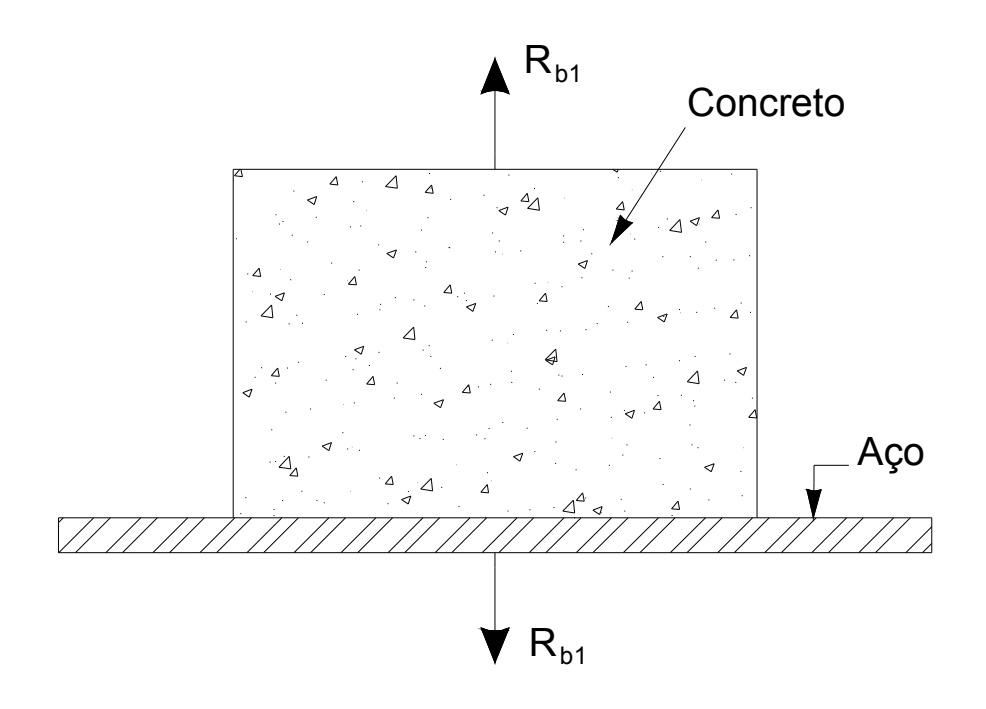
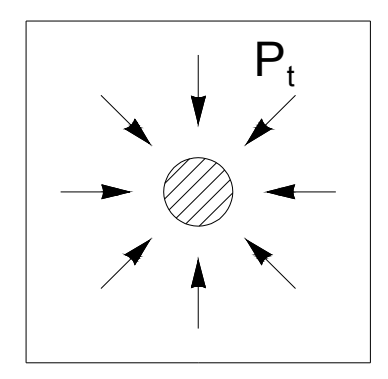
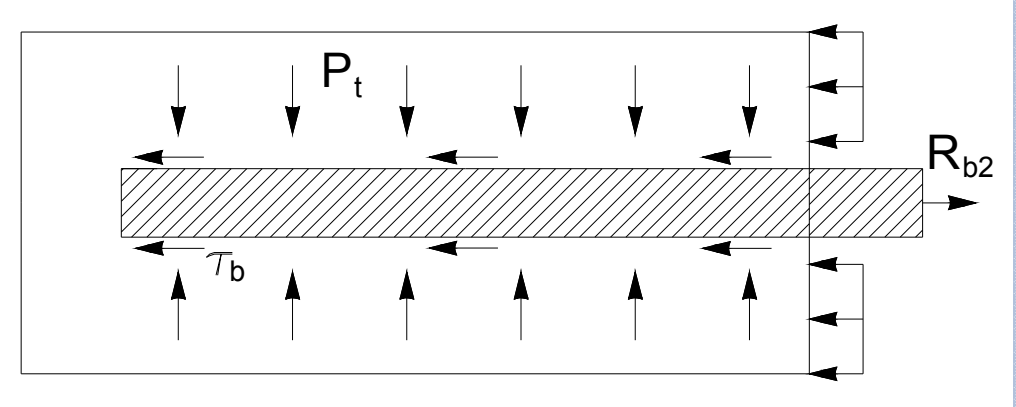


Figura 1 – Aderência por adesão (FUSCO, 2000).

### 1.2 ADERÊNCIA POR ATRITO







Ruptura por deslizamento da barra

Figura 3 – Aderência por atrito (FUSCO, 2000).

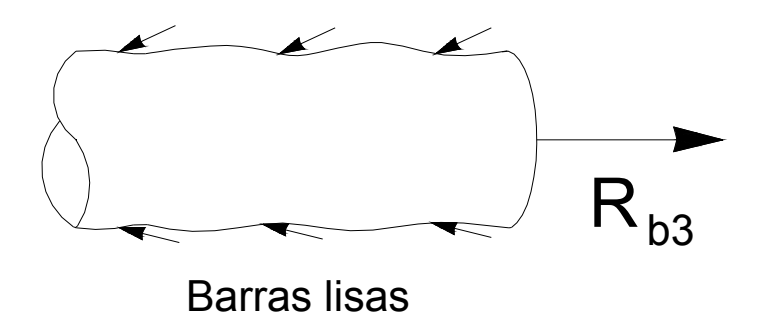


Vista inferior



Comprimento de ancoragem

#### 1.3 ADERÊNCIA MECÂNICA





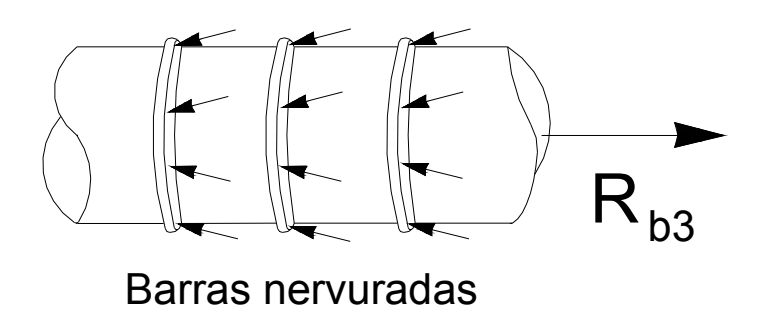


Figura 4 – Aderência mecânica (FUSCO, 2000).



Ruptura por deslizamento da barra



Vista inferior



#### 1.4 MECANISMOS DA ADERÊNCIA

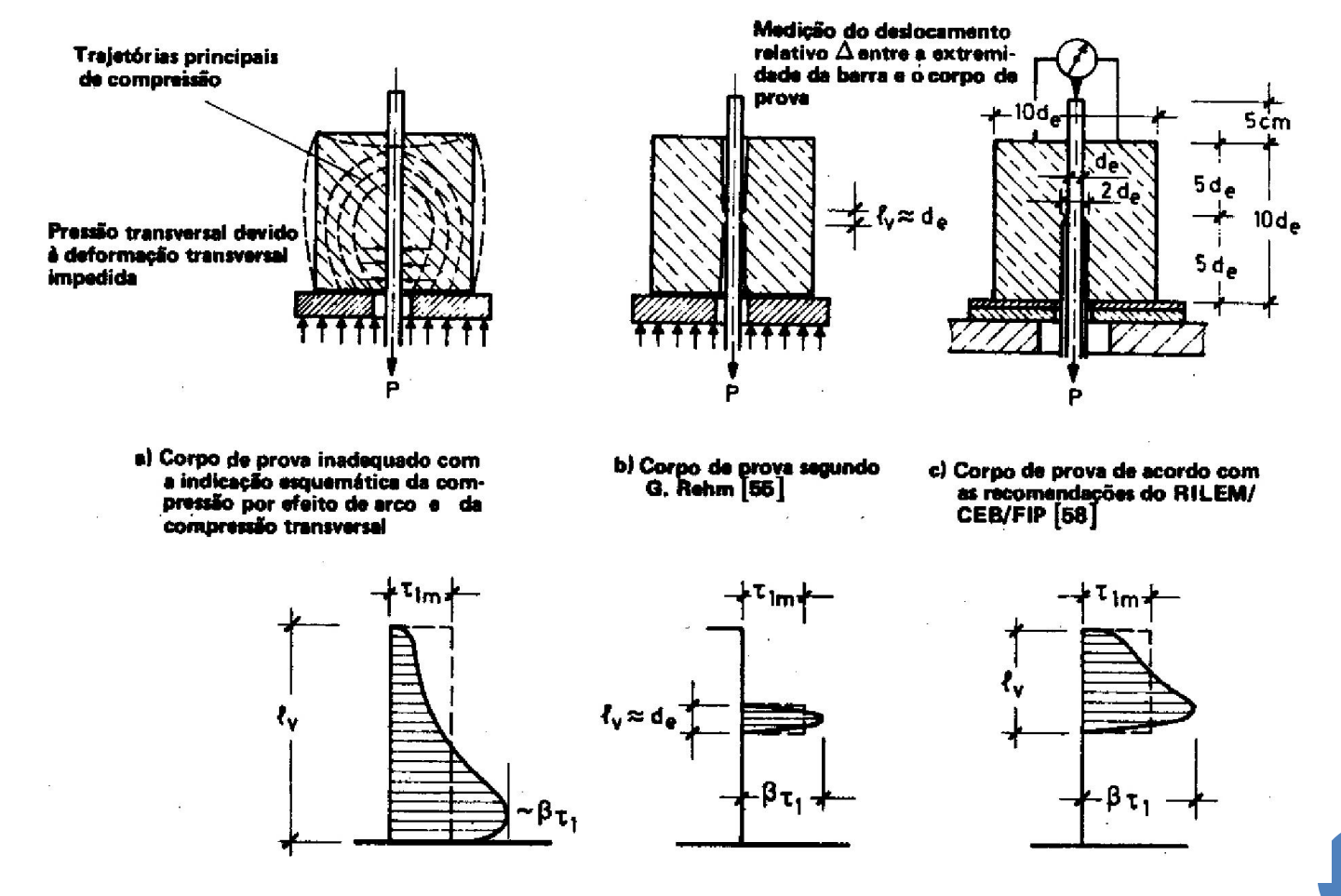


Figura 5 – Tipos de corpos de prova utilizados em ensaio de arrancamento para determinação da resistência de aderência (Leonhardt e Mönnig, 1982).

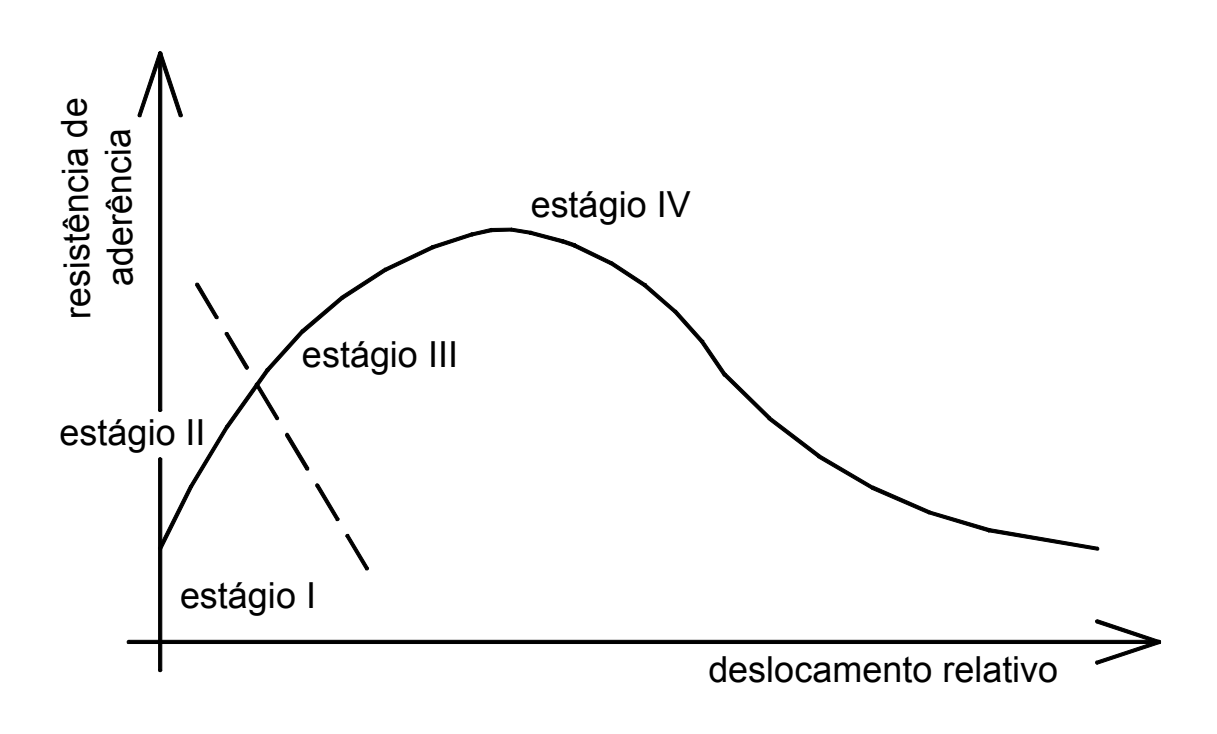
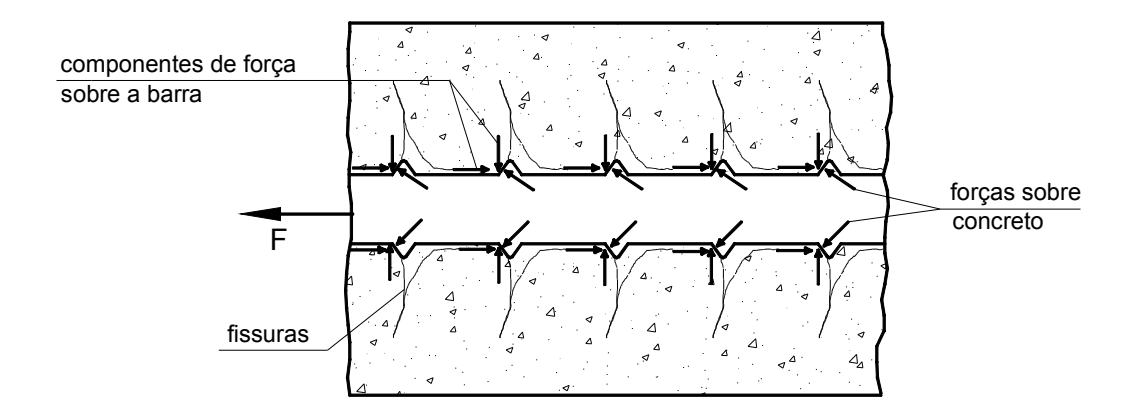
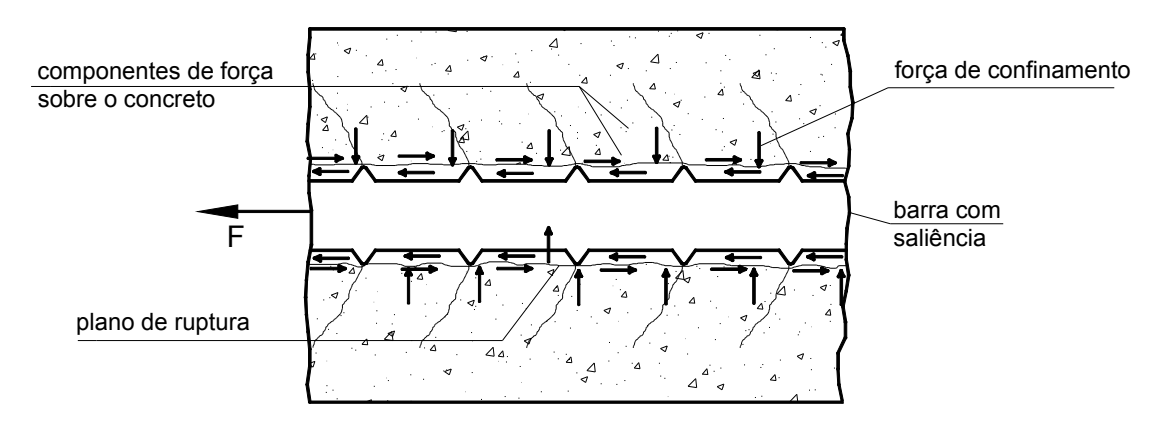


Figura 6 – Diagrama esquemático de <u>resistência de aderência x</u> <u>escorregamento</u> do ensaio de arrancamento (FIB, 1999).



#### a) Ruptura pelas fissuras de fendilhamento;



#### b) Ruptura dos consolos por cisalhamento e consequente arrancamento da barra.

Figura 7 – Ação das saliências da barra de aço sobre o concreto e modos de ruptura (FUSCO, 2000).

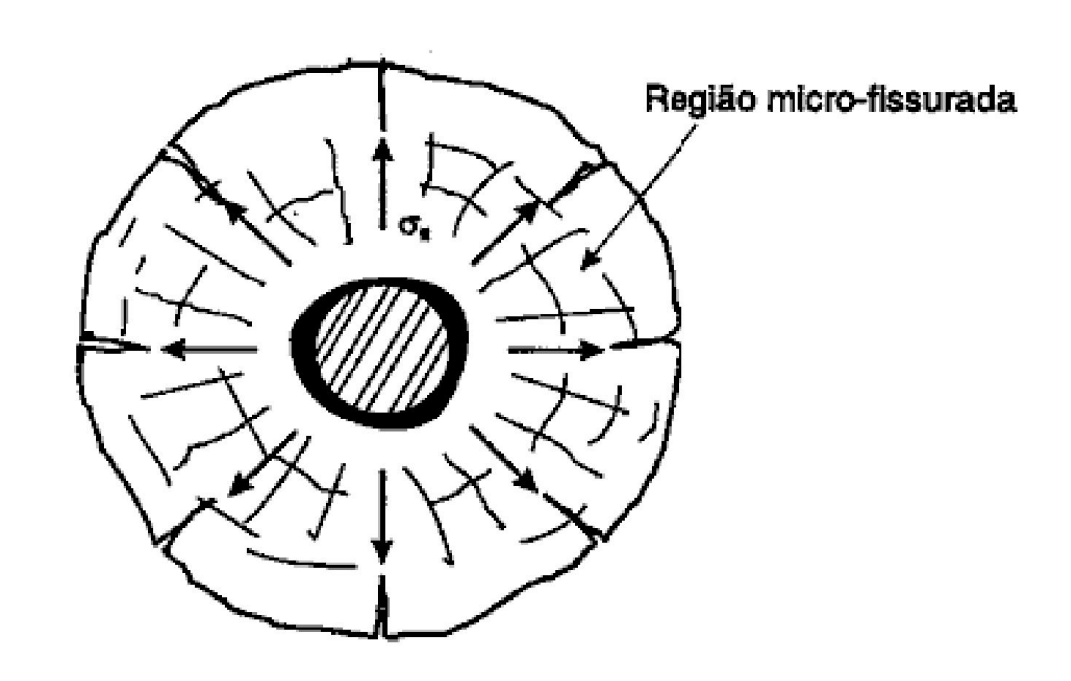


Figura 8 – Fissuras radiais de fendilhamento (FUSCO, 2000).

# 2. ADERÊNCIA E FENDILHAMENTO

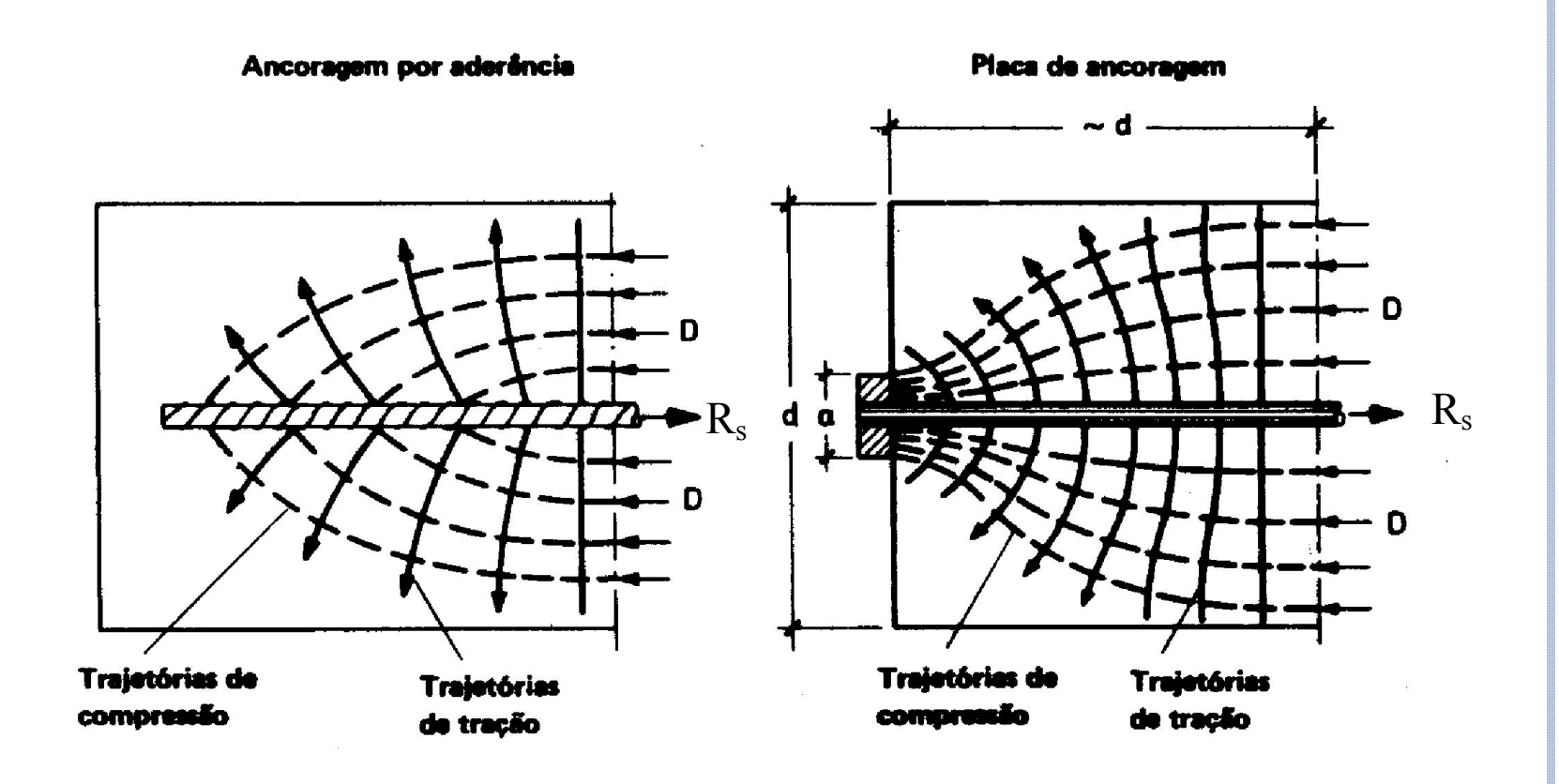


Figura 9 – Trajetórias das tensões principais em região de ancoragem<sub>11</sub> de barra reta e com placa de ancoragem (Leonhardt e Mönnig, 1982).

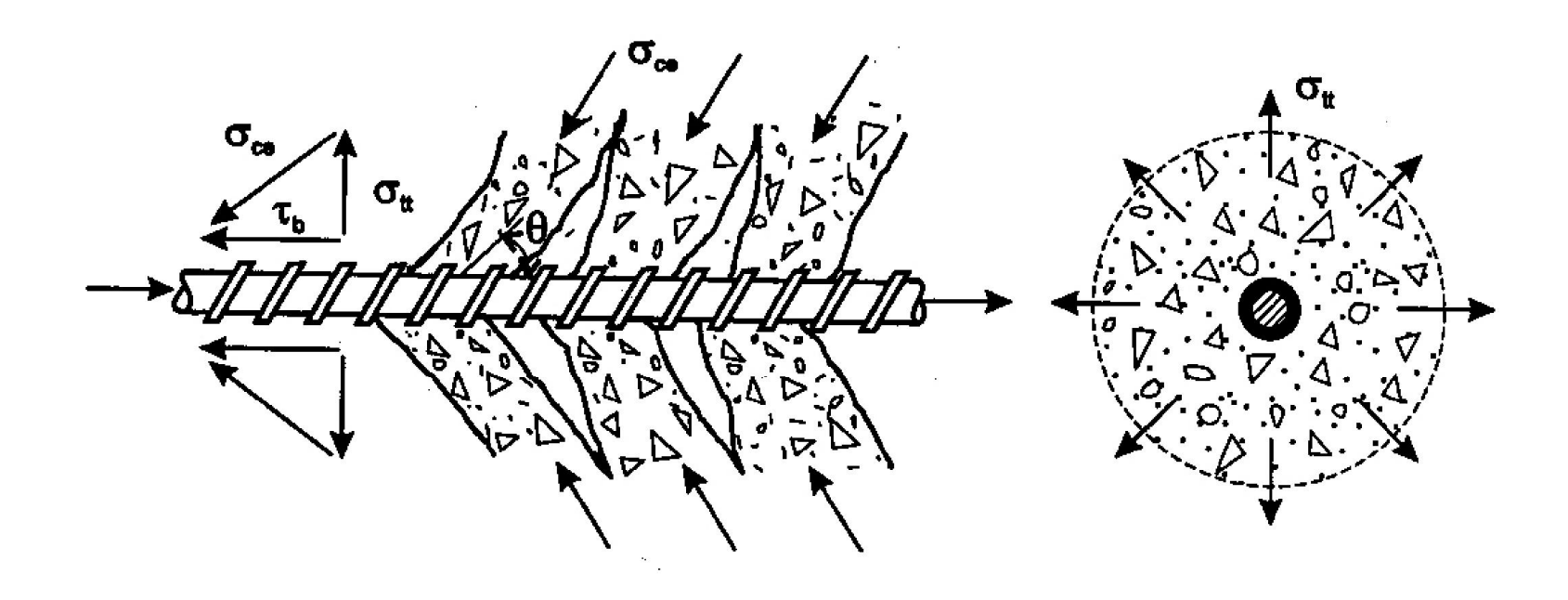


Figura 10 – Tensões atuantes na ancoragem por aderência de barra com saliências (FUSCO, 2000).

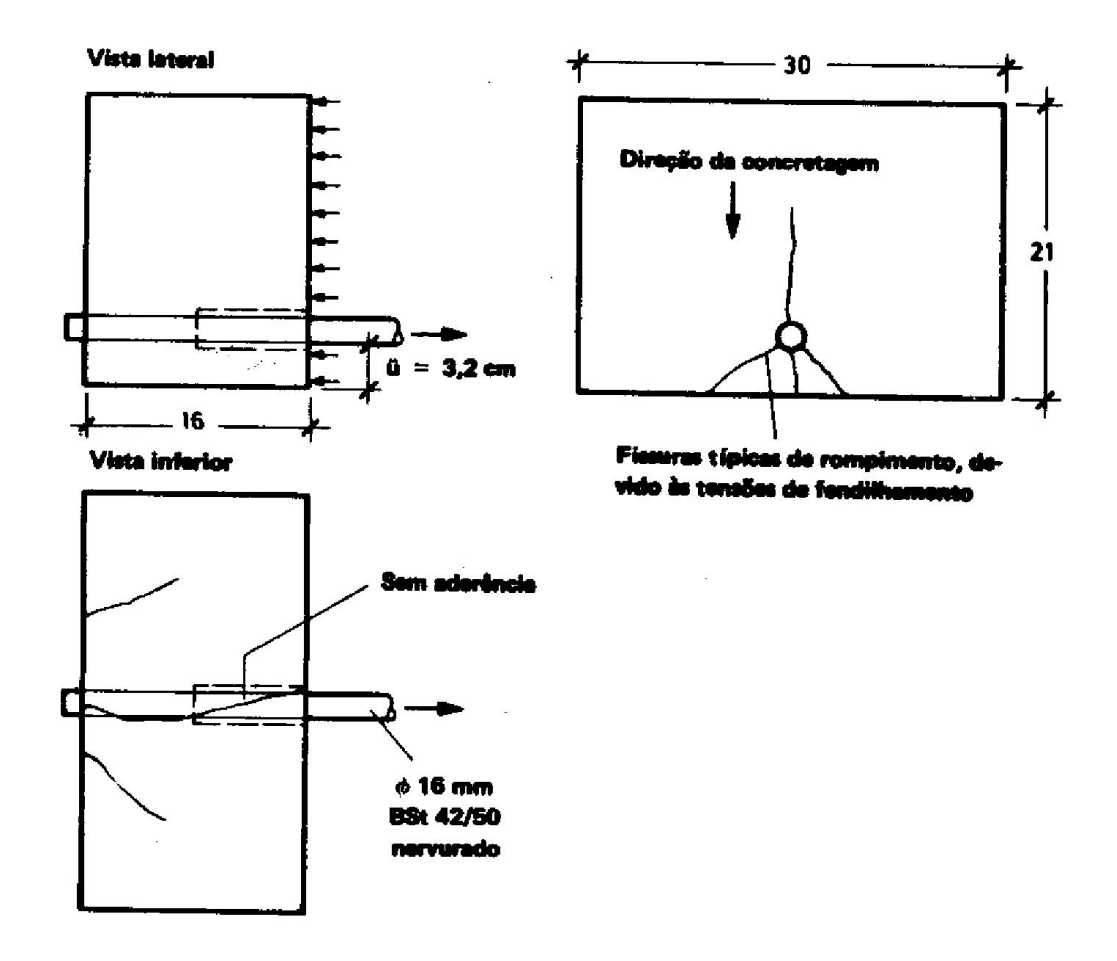


Figura 11 – Fissuras de fendilhamento na região de ancoragem sem armadura transversal (Leonhardt e Mönnig, 1982) 13

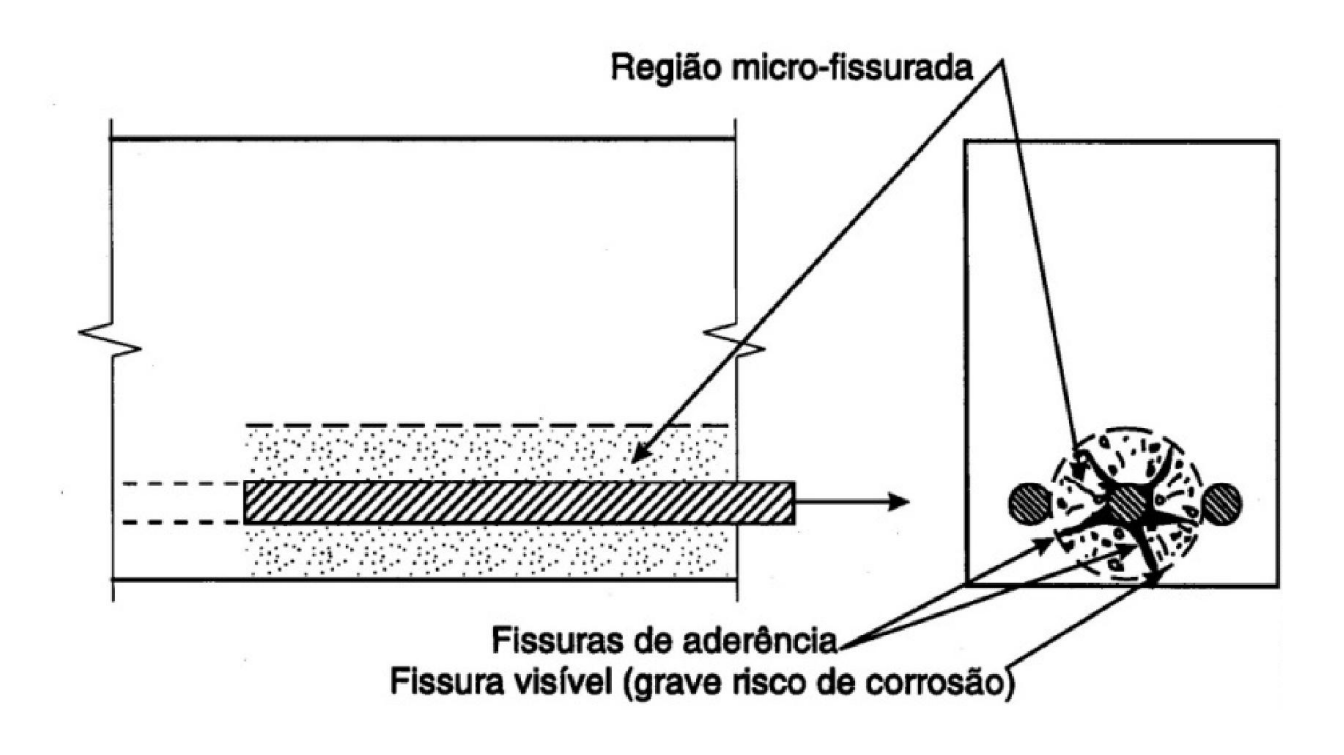


Figura 12 – Fendilhamento ao longo da barra ancorada. (Leonhardt e Mönnig, 1982).

Como afirma FUSCO (2000), o importante na ancoragem de barras tracionadas é "garantir a manutenção da integridade das bielas diagonais comprimidas e assegurar que os esforços transversais de tração possam ser adequadamente resistidos".

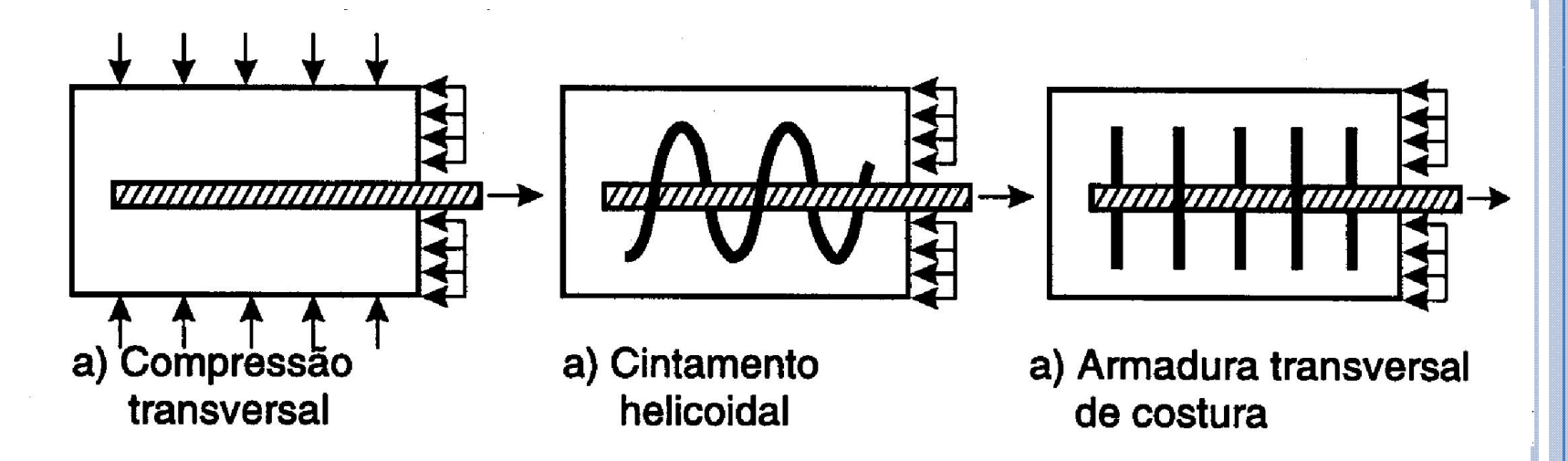


Figura 13 – Armadura para evitar fissuras de fendilhamento na ancoragem reta (FUSCO, 2000).

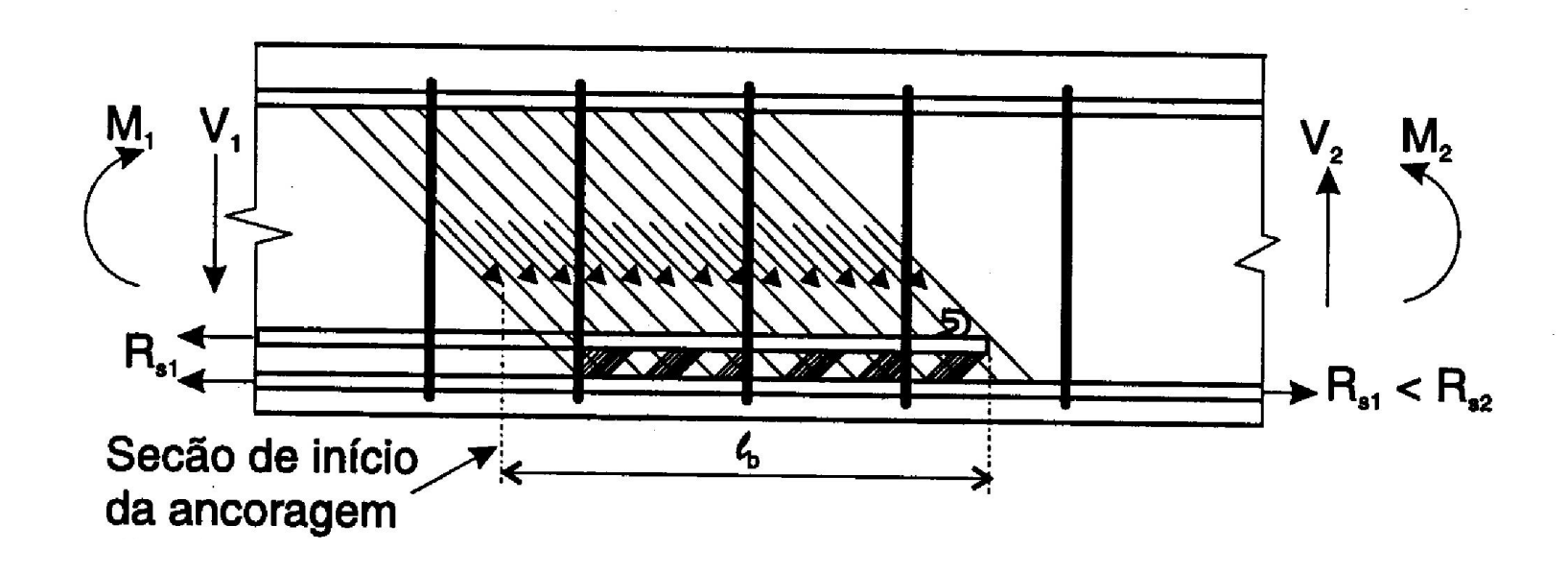


Figura 14 - Atuação favorável dos estribos para evitar fissuras por fendilhamento na região de ancoragem reta (FUSCO, 2000).

# 3. SITUAÇÕES DE BOA E DE MÁ ADERÊNCIA

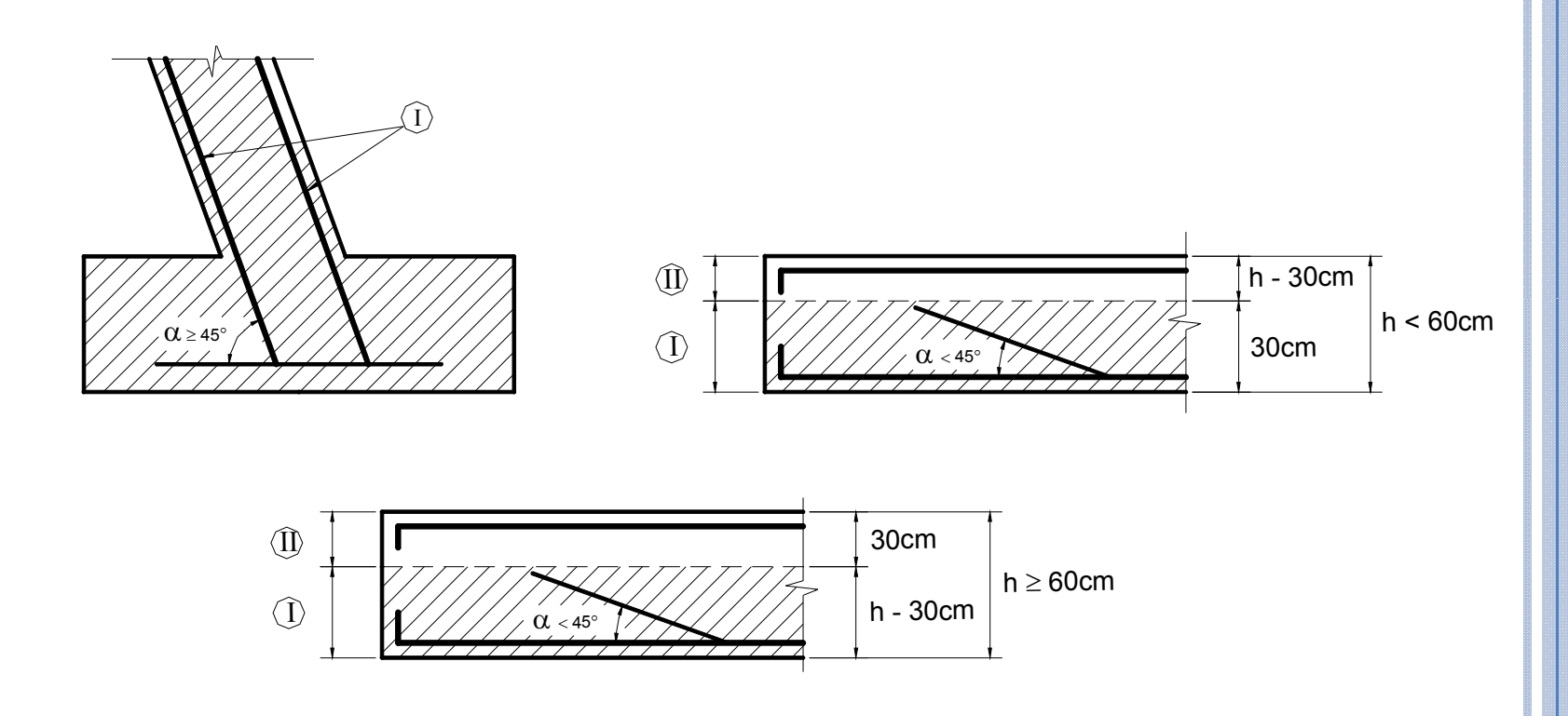


Figura 15 – Regiões de boa (I) e de má (II) aderência.

#### 4. RESISTÊNCIA DE ADERÊNCIA

$$f_{bd} = \eta_1 \cdot \eta_2 \cdot \eta_3 \cdot f_{ctd}$$

$$f_{ctd} = \frac{f_{ctk,inf}}{\gamma_c} = \frac{0.7 f_{ct,m}}{\gamma_c} = \frac{0.7.0.3}{\gamma_c} \sqrt[3]{f_{ck}^2}$$

 $\eta_1$  — parâmetro que considera a rugosidade da barra de aço:

 $\eta_1 = 1,0$  para barras lisas;

 $\eta_1 = 1,4$  para barras entalhadas;

 $\eta_1 = 2,25$  para barras nervuradas.

#### $\eta_2$ – parâmetro que considera a posição da barra:

 $\eta_2 = 1,0$  para situações de boa aderência;

 $\eta_2 = 0.7$  para situações de má aderência.

#### η<sub>3</sub> – parâmetro que considera o diâmetro da barra:

 $\eta_3 = 1.0 \text{ para } \phi < 32 \text{ mm};$ 

 $\eta_3 = (132 - \phi)/100$ , para  $\phi \ge 32$  mm;

 $com \phi = diâmetro da barra em mm.$ 

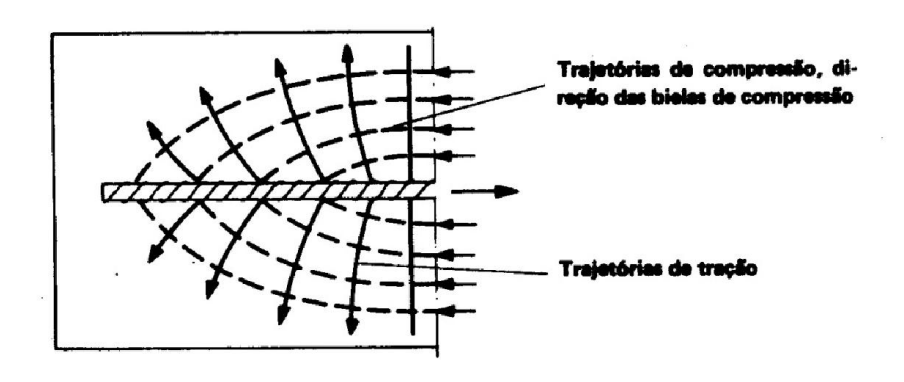
## 5. ANCORAGEM DE ARMADURA PASSIVA POR ADERÊNCIA

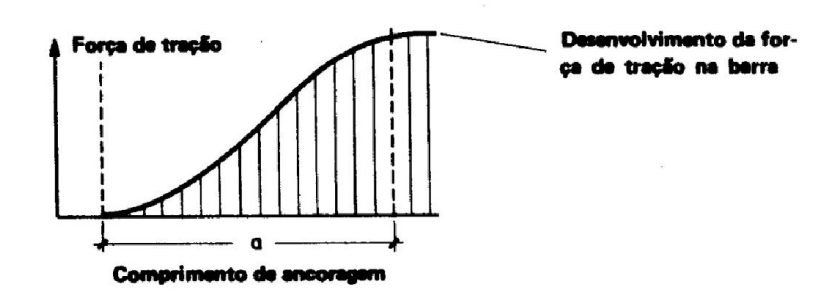
#### NBR 6118 (item 9.4.1):

"Todas as barras das armaduras devem ser ancoradas de forma que as forças a que estejam submetidas sejam integralmente transmitidas ao concreto, seja por meio de aderência ou de dispositivos mecânicos ou por combinação de ambos."

A ancoragem de uma barra de aço pode ser feita pela aderência entre o concreto e a barra, por dispositivos mecânicos, ou pela combinação de ambos (NBR 6118).

A ancoragem da barra por aderência pode ocorrer por um comprimento reto ou com grande raio de curvatura, seguido ou não de gancho.





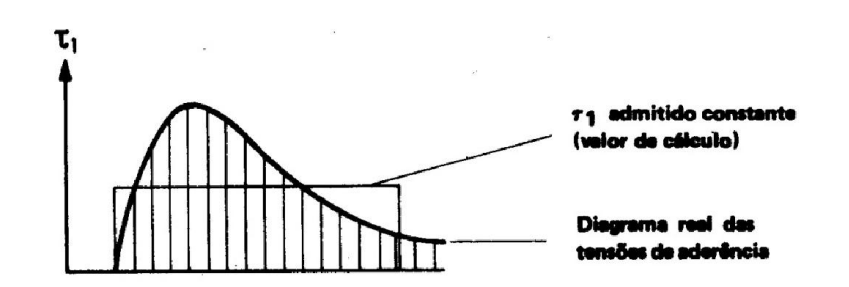


Figura 16 – Diagrama de tensões de aderência na ancoragem reta de barra de aço (Leonhardt e Mönnig, 1982).

## 5.1 COMPRIMENTO DE ANCORAGEM BÁSICO E NECESSÁRIO

Definição: "comprimento reto de uma barra de armadura passiva necessário para ancorar a força-limite  $A_s f_{yd}$  nessa barra, admitindo-se, ao longo desse comprimento, resistência de aderência uniforme e igual a  $f_{bd}$ ."

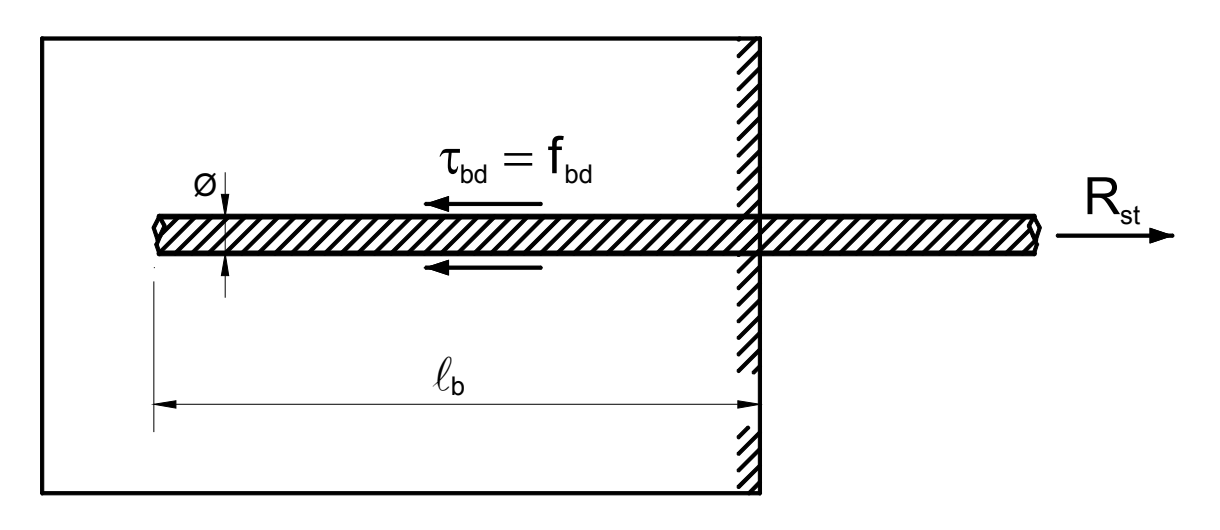


Figura 17 – Comprimento de ancoragem básico de uma barra reta.

$$R_{st} = f_{bd} \cdot u \cdot \ell_b$$

$$A_s \cdot f_{yd} = f_{bd} \cdot u \cdot \ell_b$$

com  $u = \pi \cdot \phi$  e  $A_s = \pi \cdot \phi^2/4$  tem-se:

$$\ell_b = \frac{\frac{\pi \cdot \phi^2}{4} f_{yd}}{f_{bd} \cdot \pi \cdot \phi}$$

$$\ell_b = \frac{\phi}{4} \frac{f_{yd}}{f_{bd}}$$

 $\ell_{\rm b}$  = comprimento de ancoragem básico.

|           | Tabela A-1   |          |     |     |     |     |     |     |     |     |     |     |     |     |     |     |
|-----------|--|----------|-----|-----|-----|-----|-----|-----|-----|-----|-----|-----|-----|-----|-----|-----|
| (         | COMPRIMENTO DE ANCORAGEM (cm) PARA $A_{s,ef} = A_{s,calc}$ CA-50 nervurado |          |     |     |     |     |     |     |     |     | lo  |     |     |     |     |     |
|           |  | Concreto |     |     |     |     |     |     |     |     |     |     |     |     |     |     |
| ф<br>(mm) | C15  |          | C20 |     | C25 |     | C30 |     | C35 |     | C40 |     | C45 |     | C50 |     |
|           | Sem  | Com      | Sem | Com | Sem | Com | Sem | Com | Sem | Com | Sem | Com | Sem | Com | Sem | Com |
| 6,3       | 48   | 33       | 39  | 28  | 34  | 24  | 30  | 21  | 27  | 19  | 25  | 17  | 23  | 16  | 21  | 15  |
| 0,3       | 33   | 23       | 28  | 19  | 24  | 17  | 21  | 15  | 19  | 13  | 17  | 12  | 16  | 11  | 15  | 10  |
| 8         | 61   | 42       | 50  | 35  | 43  | 30  | 38  | 27  | 34  | 24  | 31  | 22  | 29  | 20  | 27  | 19  |
|           | 42   | 30       | 35  | 24  | 30  | 21  | 27  | 19  | 24  | 17  | 22  | 15  | 20  | 14  | 19  | 13  |
| 10        | 76   | 53       | 62  | 44  | 54  | 38  | 48  | 33  | 43  | 30  | 39  | 28  | 36  | 25  | 34  | 24  |
| 10        | 53   | 37       | 44  | 31  | 38  | 26  | 33  | 23  | 30  | 21  | 28  | 19  | 25  | 18  | 24  | 17  |
| 12,5      | 95   | 66       | 78  | 55  | 67  | 47  | 60  | 42  | 54  | 38  | 49  | 34  | 45  | 32  | 42  | 30  |
|           | 66   | 46       | 55  | 38  | 47  | 33  | 42  | 29  | 38  | 26  | 34  | 24  | 32  | 22  | 30  | 21  |
| 16        | 121  | 85       | 100 | 70  | 86  | 60  | 76  | 53  | 69  | 48  | 63  | 44  | 58  | 41  | 54  | 38  |
|           | 85   | 59       | 70  | 49  | 60  | 42  | 53  | 37  | 48  | 34  | 44  | 31  | 41  | 29  | 38  | 27  |
| 20        | 151  | 106      | 125 | 87  | 108 | 75  | 95  | 67  | 86  | 60  | 79  | 55  | 73  | 51  | 68  | 47  |
|           | 106  | 74       | 87  | 61  | 75  | 53  | 67  | 47  | 60  | 42  | 55  | 39  | 51  | 36  | 47  | 33  |

Valores de acordo com a NBR 6118.

Nº Superior: Má Aderência ; Nº Inferior: Boa Aderência Sem e Com indicam sem ou com gancho na extremidade da barra

 $A_{s,ef}$  = área de armadura efetiva ;  $A_{s,calc}$  = área de armadura calculada

O comprimento de ancoragem deve ser maior do que o comprimento mínimo: 
$$\ell_{b,min} \ge \begin{cases} 0.3 \ \ell_b \\ 10 \ \phi \\ 100 \ mm \end{cases}$$

 $\gamma_{\rm c} = 1.4$  ;  $\gamma_{\rm s} = 1.15$ 

# Comprimento de ancoragem necessário (\ell\_{b,nec})

$$\ell_{b,\text{nec}} = \alpha \ell_b \frac{A_{s,\text{calc}}}{A_{s,\text{ef}}} \ge \ell_{b,\text{min}} \ge \begin{cases} 0.3 \ell_b \\ 10 \phi \\ 100 \text{ mm} \end{cases}$$

 $\alpha = 1,0$  - para barras sem gancho;

 $\alpha = 0.7$  - para barras tracionadas com gancho, com cobrimento no plano normal ao do gancho  $\geq 3 \ \phi$ ;

 $\alpha = 0.7$  - quando houver barras transversais soldadas conforme 9.4.2.2;

 $\alpha = 0.5$  - quando houver barras transversais soldadas conforme 9.4.2.2 e gancho com cobrimento no plano normal ao do gancho  $\geq 3\phi$ ;

 $\ell_{\rm b}$  = comprimento de ancoragem básico;  $A_{\rm s,calc}$  = área da armadura calculada;  $A_{\rm s,ef}$  = área da armadura efetiva (escolhida).

#### 5.2 DISPOSIÇÕES CONSTRUTIVAS

# 5.2.1 PROLONGAMENTO RETILÍNEO DA BARRA OU GRANDE RAIO DE CURVATURA

Barras tracionadas podem ser ancoradas com comprimento retilíneo ou com grande raio de curvatura em sua extremidade, conforme:

- a) obrigatoriamente com gancho para barras lisas;
- b) sem gancho nas que tenham alternância de solicitação, de tração e compressão;
- c) com ou sem gancho nos demais casos, não sendo recomendado o gancho para barras de  $\phi > 32$  mm ou para feixes de barras.

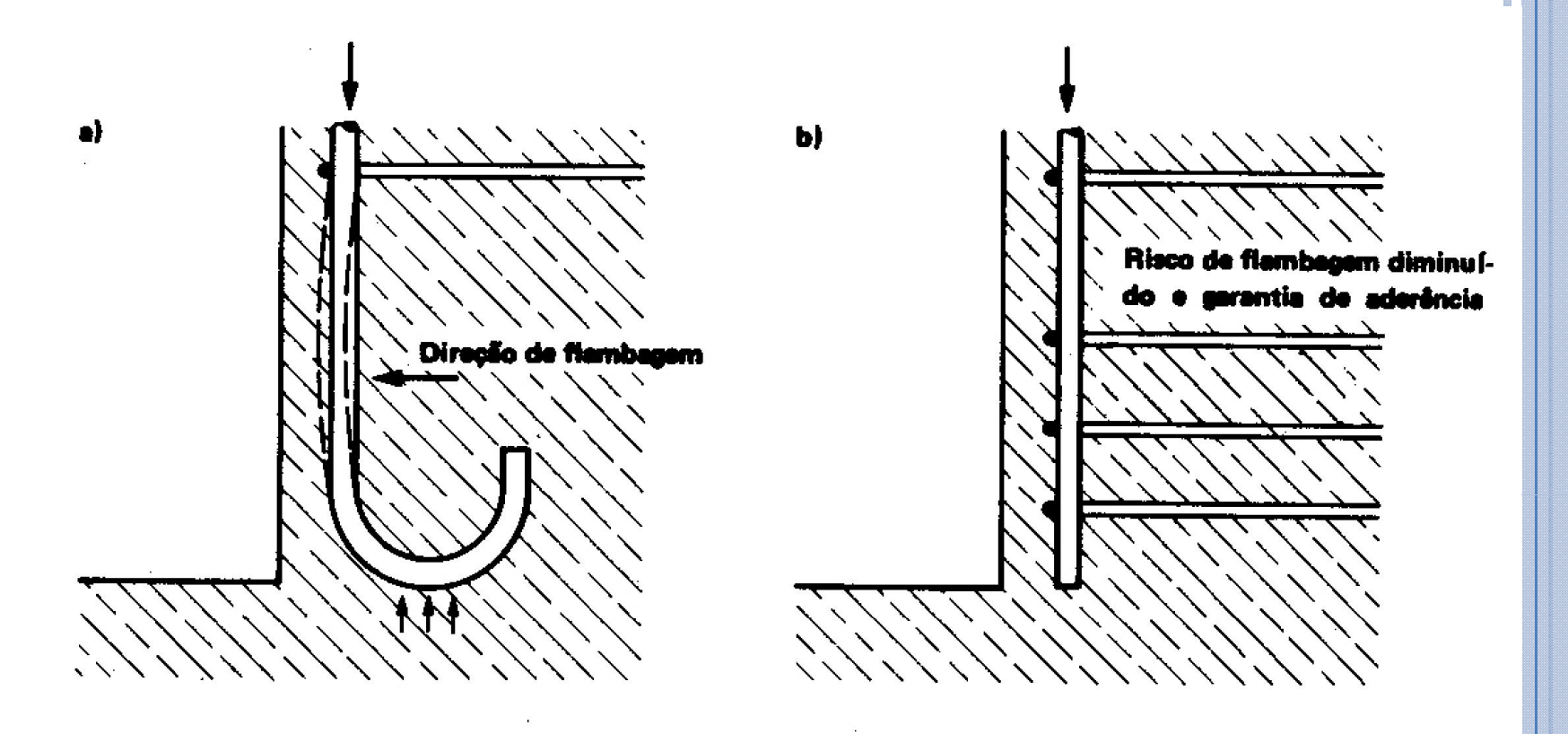


Figura 18 – O gancho na ancoragem de barra comprimida pode ocasionar o rompimento do cobrimento de concreto. (Leonhardt e Mönnig, 1982).

#### 5.2.2 Barras Transversais Soldadas

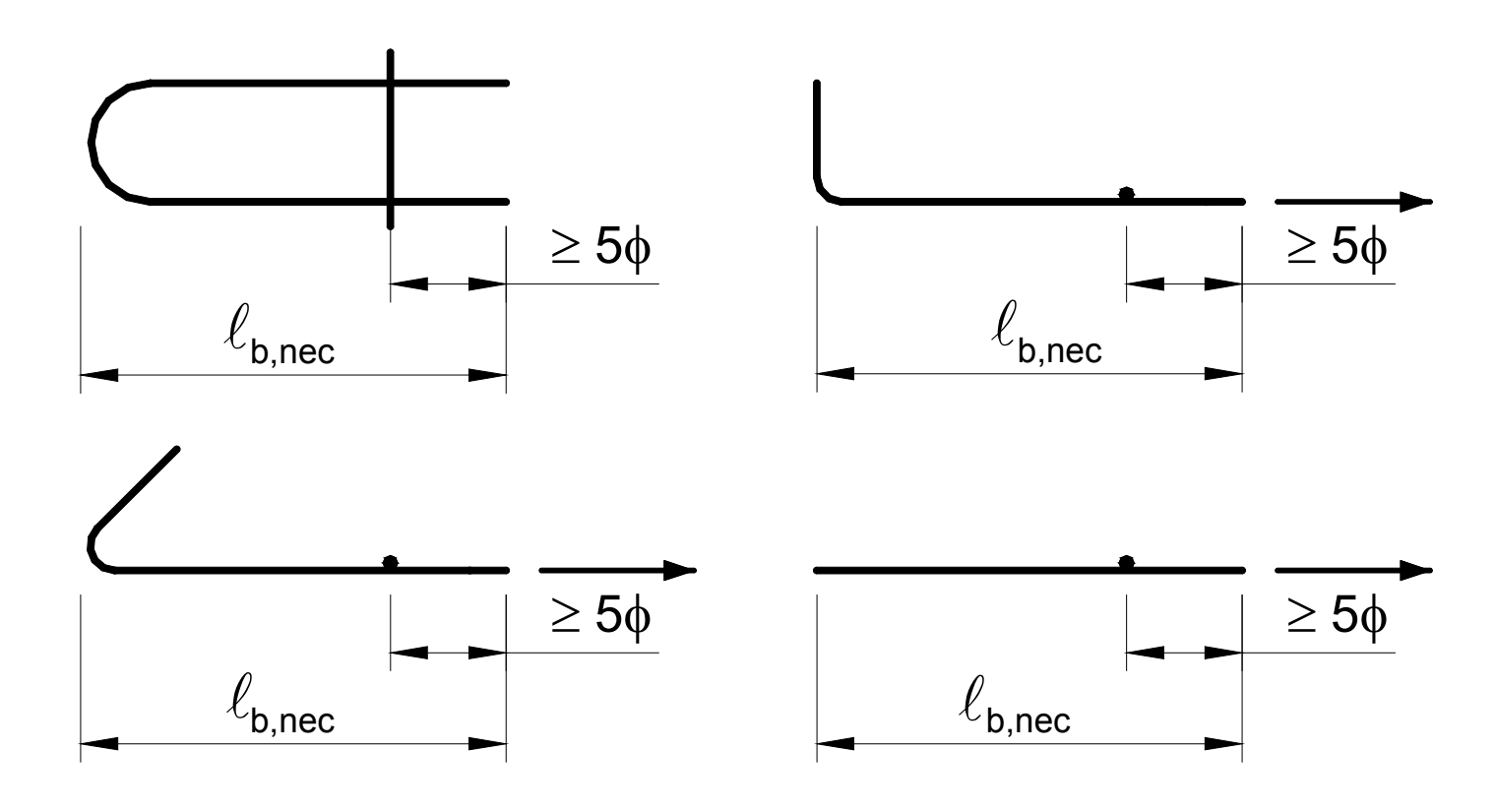


Figura 19 – Critérios para posicionamento de barras transversais soldadas à barra ancorada.

# 5.2.3 GANCHOS DAS ARMADURAS DE TRAÇÃO

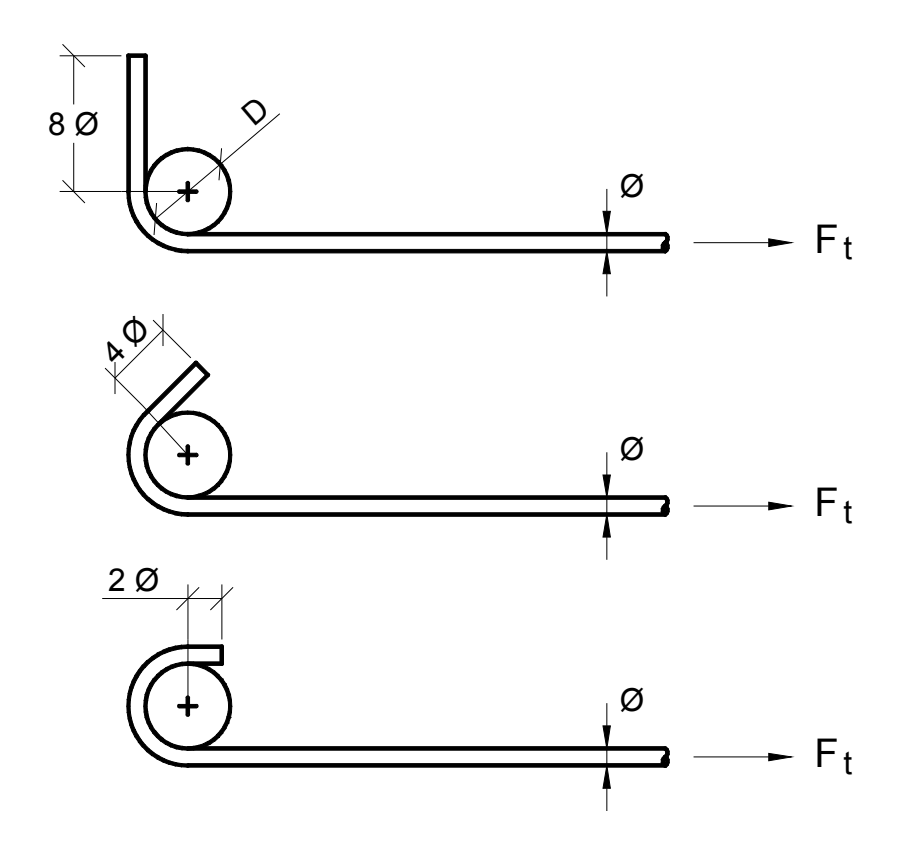


Figura 20 – Características dos ganchos nas extremidades de barras tracionadas.

Tabela 1 - Diâmetro dos pinos de dobramento (D).

| Bitola | Tipo de aço |       |       |  |  |  |  |
|--------|-------------|-------|-------|--|--|--|--|
| (mm)   | CA-25       | CA-50 | CA-60 |  |  |  |  |
| < 20   | 4 φ         | 5 ф   | 6 ф   |  |  |  |  |
| ≥ 20   | 5 ф         | 8 ф   | -     |  |  |  |  |

# 5.2.4 Armadura Transversal na Ancoragem

Para barras com  $\phi$  < 32 mm: "Ao longo do comprimento de ancoragem deve ser prevista armadura transversal capaz de resistir a 25 % da força longitudinal de uma das barras ancoradas. Se a ancoragem envolver barras diferentes, prevalece, para esse efeito, a de maioradiâmetro." (NBR 6118 (9.4.2.6.1)

#### 5.2.5 ANCORAGEM DE ESTRIBOS

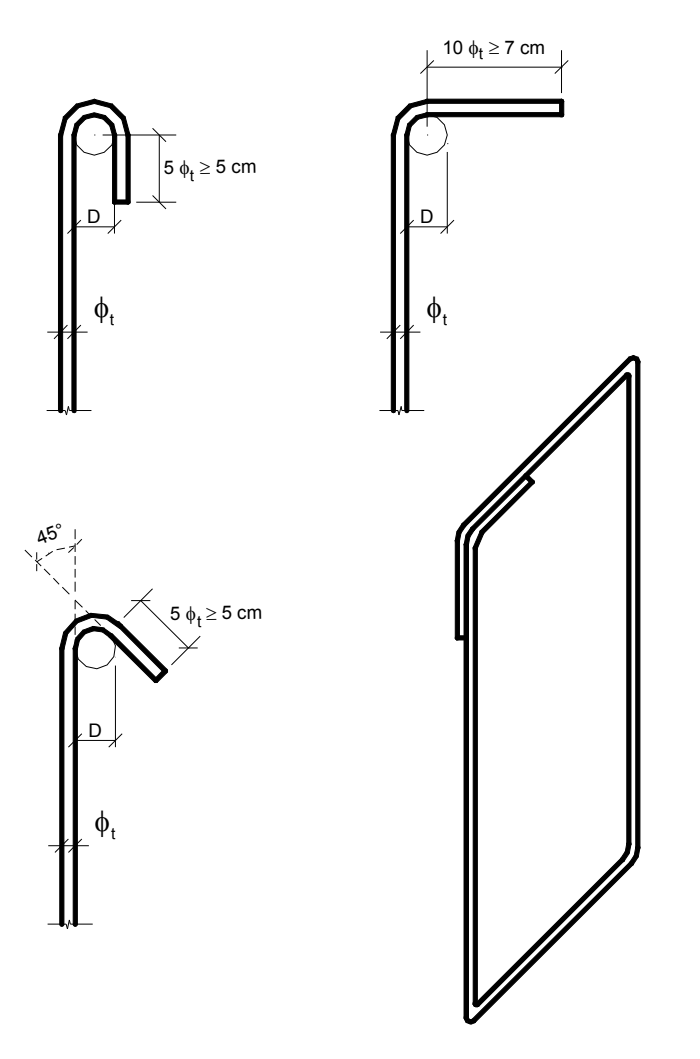


Figura 21 – Tipos de ganchos para os estribos.

#### 6. EMENDA DE BARRAS

Tipos de emendas:

a) Traspasse(ou transpasse);



b) luvas com preenchimento metálico, rosqueadas ou prensadas;



#### 6. EMENDA DE BARRAS

### Tipos de emendas:

#### c) solda;





http://equipedeobra.pini.com.br/construcao-reforma/66/conheca-os-diferentes-tipos-de-emendas-emvergalhoes-para-garantir-301534-1.aspx

d) outros dispositivos devidamente justificados.

#### 6.1 EMENDA POR TRASPASSI

Figura 22 – Aspecto da fissuração na emenda de duas barras (Leonhardt e Mönnig, 1982).

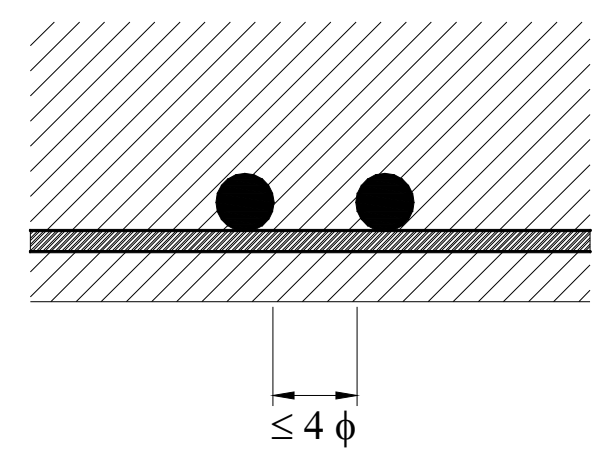
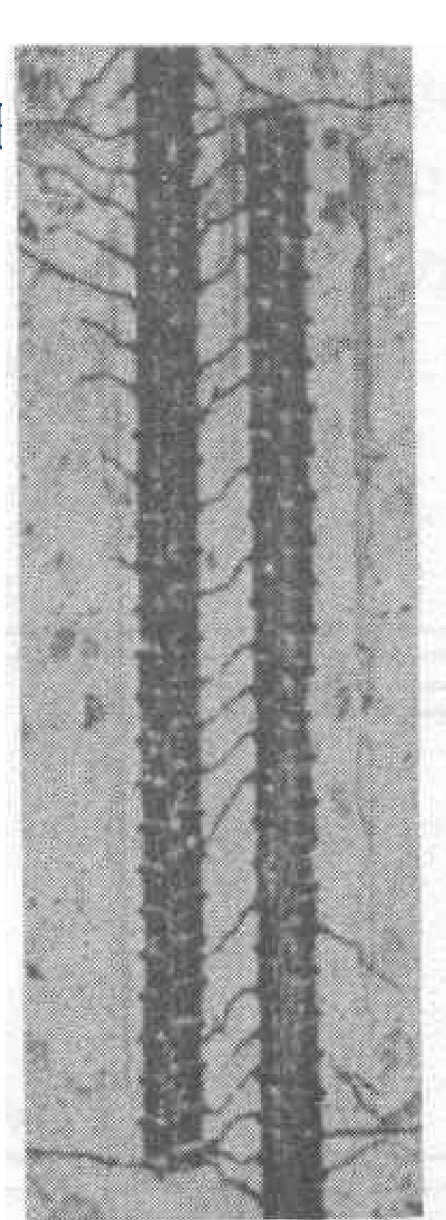


Figura 24 – Espaçamento máximo entre duas barras emendadas por transpasse.



## 6.1.1 Proporção de Barras Emendadas

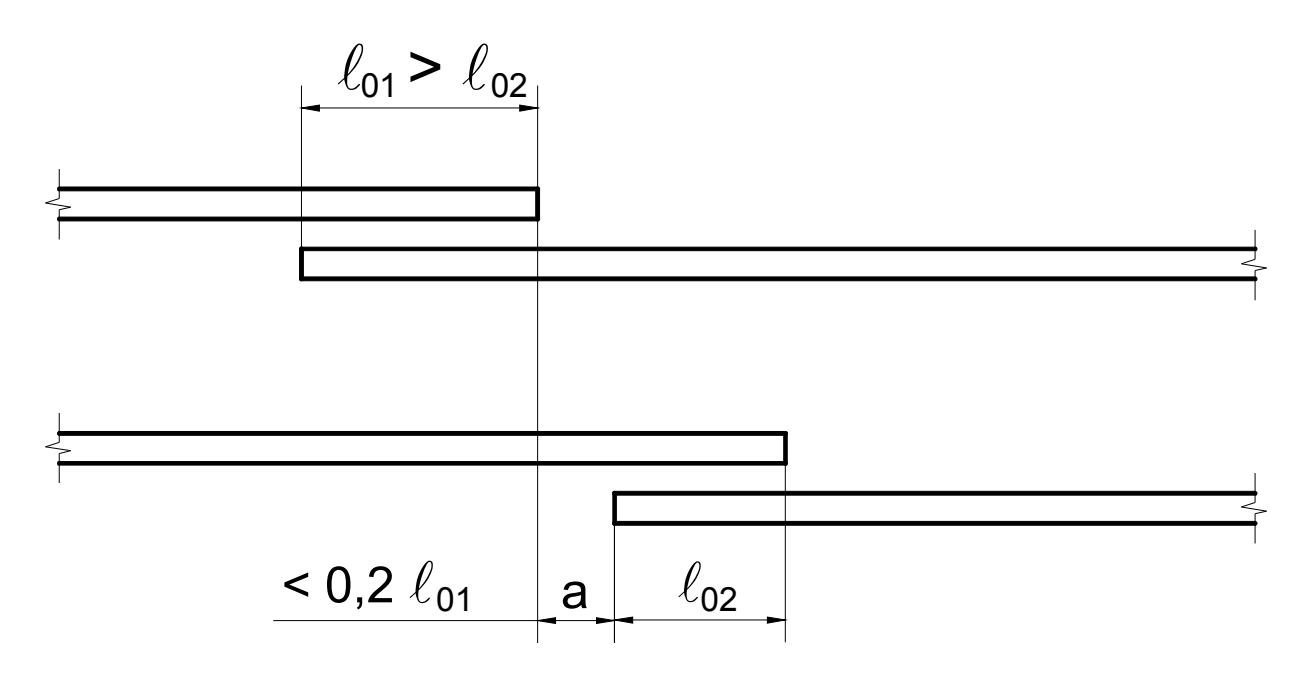


Figura 26 – Emendas supostas na mesma seção transversal.

- se a  $< 0.2\ell_{01}$   $\rightarrow$  as emendas ocorrem na mesma seção;
- se a  $> 0.2\ell_{01}^{-1}$   $\rightarrow$  as emendas ocorrem em seções diferentes.

#### Tabela 3 – Proporção máxima de barras tracionadas emendadas.

| Tipo de barra  | Situação                 | Tipo de carregamento |          |  |
|----------------|--------------------------|----------------------|----------|--|
|                |                          | Estático             | Dinâmico |  |
| Alta aderência | Em uma camada            | 100 %                | 100 %    |  |
|                | Em mais de uma<br>camada | 50 %                 | 50 %     |  |
| Lisa           | φ < 16 mm                | 50 %                 | 25 %     |  |
|                | φ ≥ 16 mm                | 25 %                 | 25 %     |  |

# 6.1.2 COMPRIMENTO DE TRASPASSE DE BARRAS ISOLADAS TRACIONADAS

$$\ell_{0t} = \alpha_{0t} \ \ell_{b,nec} \ge \ell_{0t,min} \ge \begin{cases} 0.3 \ \alpha_{0t} \ \ell_{b} \\ 15 \ \phi \\ 200 \ mm \end{cases}$$

Tabela 4 – Valores do coeficiente  $\alpha_{0t}$ .

| Barras emendadas<br>na mesma seção (%) | ≤ 20 | 25  | 33  | 50  | > 50 |
|--|------|-----|-----|-----|------|
| Valores de $\alpha_{0t}$               | 1,2  | 1,4 | 1,6 | 1,8 | 2,0  |

# 6.1.3 COMPRIMENTO DE TRASPASSE DE BARRAS ISOLADAS COMPRIMIDAS

$$\ell_{0c} = \ell_{b,nec} \ge \ell_{0c,min} \ge \begin{cases} 0.6 \, \ell_{b} \\ 15 \, \phi \\ 200 \, mm \end{cases}$$

## 6.1.4 ARMADURA TRANSVERSAL NAS EMENDAS POR TRASPASSE DE BARRAS ISOLADAS

Com o objetivo de combater as tensões transversais de tração, que podem originar fissuras na região da emenda, a NBR 6118 recomenda a adoção de armadura transversal à emenda, em função da emenda ser de barras tracionadas, comprimidas ou fazer parte de armadura secundária.

# 6.1.4.1 ARMADURA PRINCIPAL TRACIONADA

Quando  $\phi$  < 16 mm ou a proporção de barras emendadas na mesma seção for menor que 25 %, a área da armadura transversal deve resistir a 25 % da força longitudinal atuante na barra.

Nos casos em que  $\phi \ge 16$  mm ou quando a proporção de barras emendadas na mesma seção for maior ou igual a 25 %, a armadura transversal deve:

- a) ser capaz de resistir a uma força igual à de uma barra emendada, considerando os ramos paralelos ao plano da emenda;
- b) ser constituída por barras fechadas se a distância entre as duas barras mais próximas de duas emendas na mesma seção for  $< 10 \phi (\phi = diâmetro da barra emendada);$
- c) concentrar-se nos terços extremos da emenda.

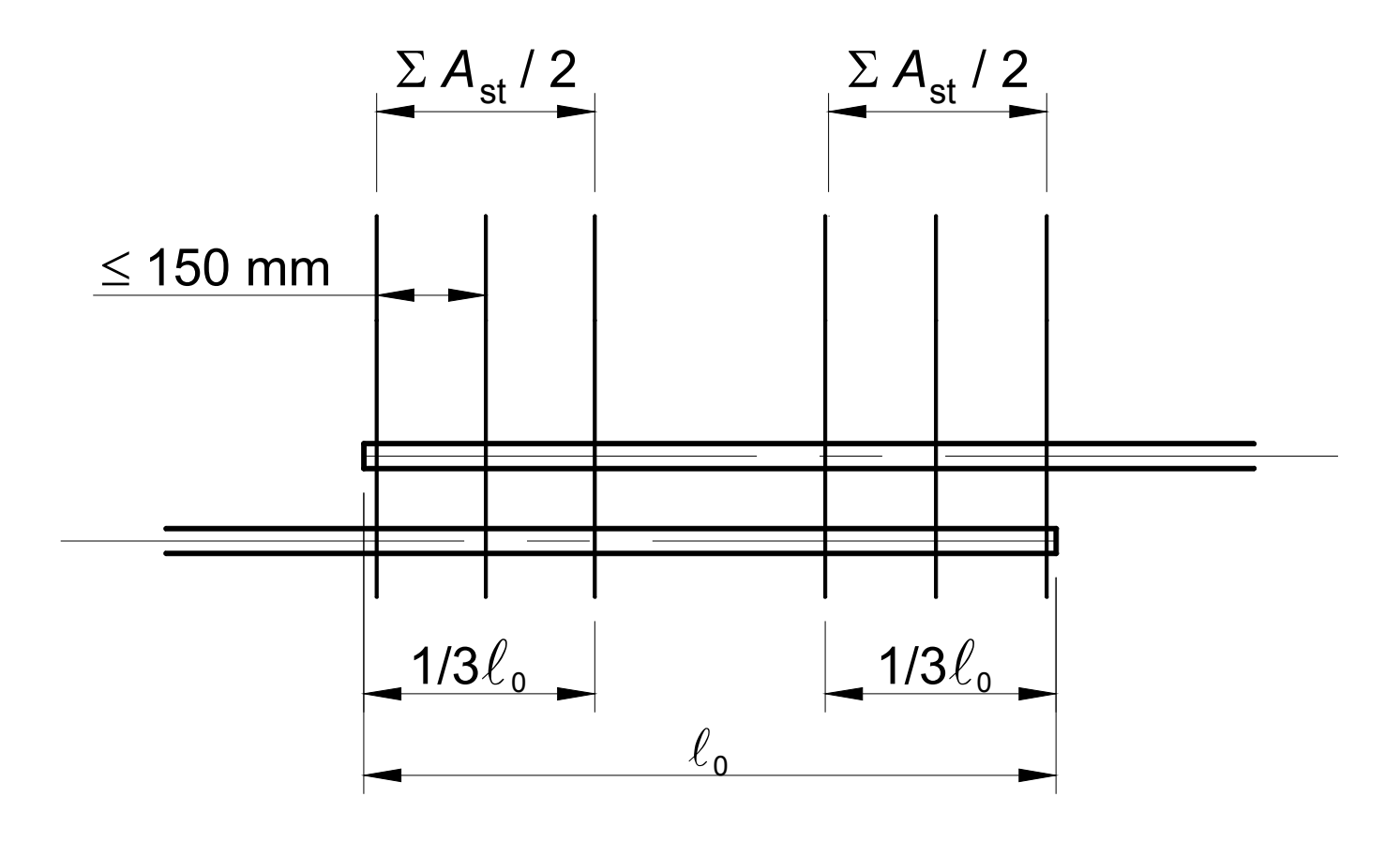


Figura 27 – Disposição da armadura transversal nas emendas de barras tracionadas.

# 6.1.4.2 ARMADURA PRINCIPAL COMPRIMIDA

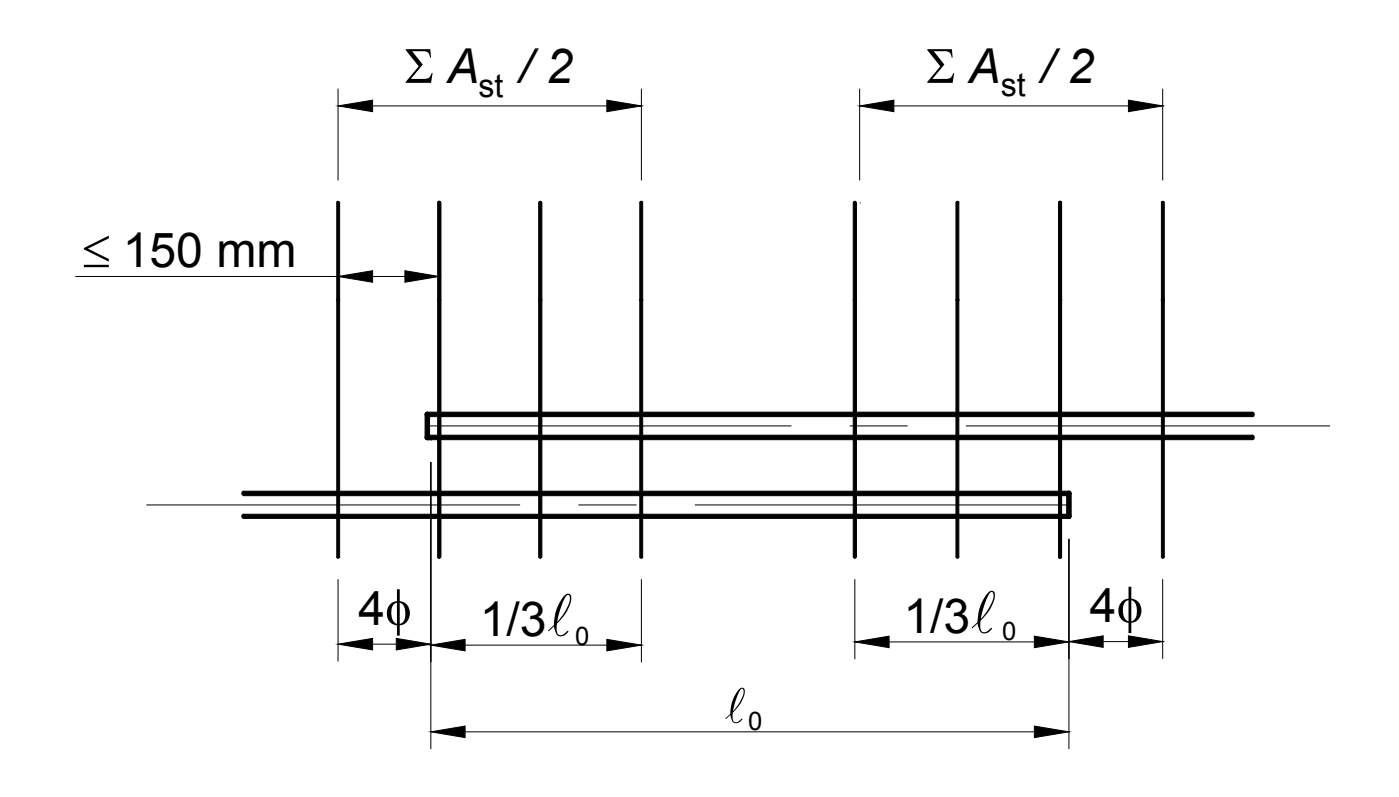


Figura 28 – Disposição da armadura transversal nas emendas de barras comprimidas.

### 7. ANCORAGEM DA ARMADURA LONGITUDINAL DE FLEXÃO EM VIGAS

Neste item será visto como deve ser feito o detalhamento da armadura longitudinal de tração das vigas, ou seja, até que posição do vão as barras devem se estender, e também a ancoragem das barras que chegarem até os apoios intermediários e extremos.

# 7.1 Decalagem do Diagrama de Forças no Banzo Tracionado

A decalagem ( $a_{\ell}$  - deslocamento) do diagrama de forças  $R_{Sd}$  ( $M_{Sd}$  / z) deve ser feito para se compatibilizar o valor da força atuante na armadura tracionada, determinada no banzo tracionado da treliça de Ritter-Mörsch, com o valor da força determinada segundo o diagrama de momentos fletores de cálculo.

A decalagem  $(a_{\ell})$  pode ser substituída, aproximadamente, pela correspondente decalagem de diagrama de momentos fletores de cálculo  $(M_{Sd})$ .

#### 7.1.1 Modelo de Cálculo I

$$a_{\ell} = d \left[ \frac{V_{Sd,m\acute{a}x}}{2 \left( V_{Sd,m\acute{a}x} - V_{c} \right)} (1 + \cot g \alpha) - \cot g \alpha \right] \leq d$$

sendo: 
$$a_{\ell} = d$$
 para  $\left| V_{Sd,máx} \right| \le V_c$ 

$$a_{\ell} \ge 0.5 d$$
 - no caso geral;

$$a_{\ell} \ge 0.2 d$$
 - para estribos inclinados a 45°.

Para estribo vertical ( $\alpha = 90^{\circ}$ ):

$$a_{\ell} = \frac{d}{2} \frac{V_{Sd,m\acute{a}x}}{(V_{Sd,m\acute{a}x} - V_c)} \leq d$$

#### 7.1.2 Modelo de Cálculo II

$$a_{\ell} = 0.5 d (\cot g \theta - \cot g \alpha)$$

sendo:  $a_{\ell} \ge 0.5 d$  - no caso geral;

 $a_{\ell} \ge 0.2 \text{ d}$  - para estribos inclinados a 45 °.

## 7.2 Ponto de Início de Ancoragem

Em que ponto ao longo do vão da viga pode-se retirar de serviço uma barra da armadura longitudinal tracionada de flexão, a fim de gerar economia de aço?

A ancoragem por aderência de uma barra da armadura longitudinal de tração tem início na seção teórica onde sua tensão  $\sigma_s$  começa a diminuir, ou seja, o esforço da armadura começa a ser transferido para o concreto. O comprimento da ancoragem deve prolongar-se pelo menos 10  $\phi$  além do ponto teórico de tensão  $\sigma_s$  nula. Considerando o diagrama de forças  $R_{Sd}=M_{Sd}/z$ , decalado do comprimento  $a_\ell$ , o início do comprimento de ancoragem da barra corresponde ao ponto A, devendo prolongar-se no mínimo 10  $\phi$  além do ponto B.

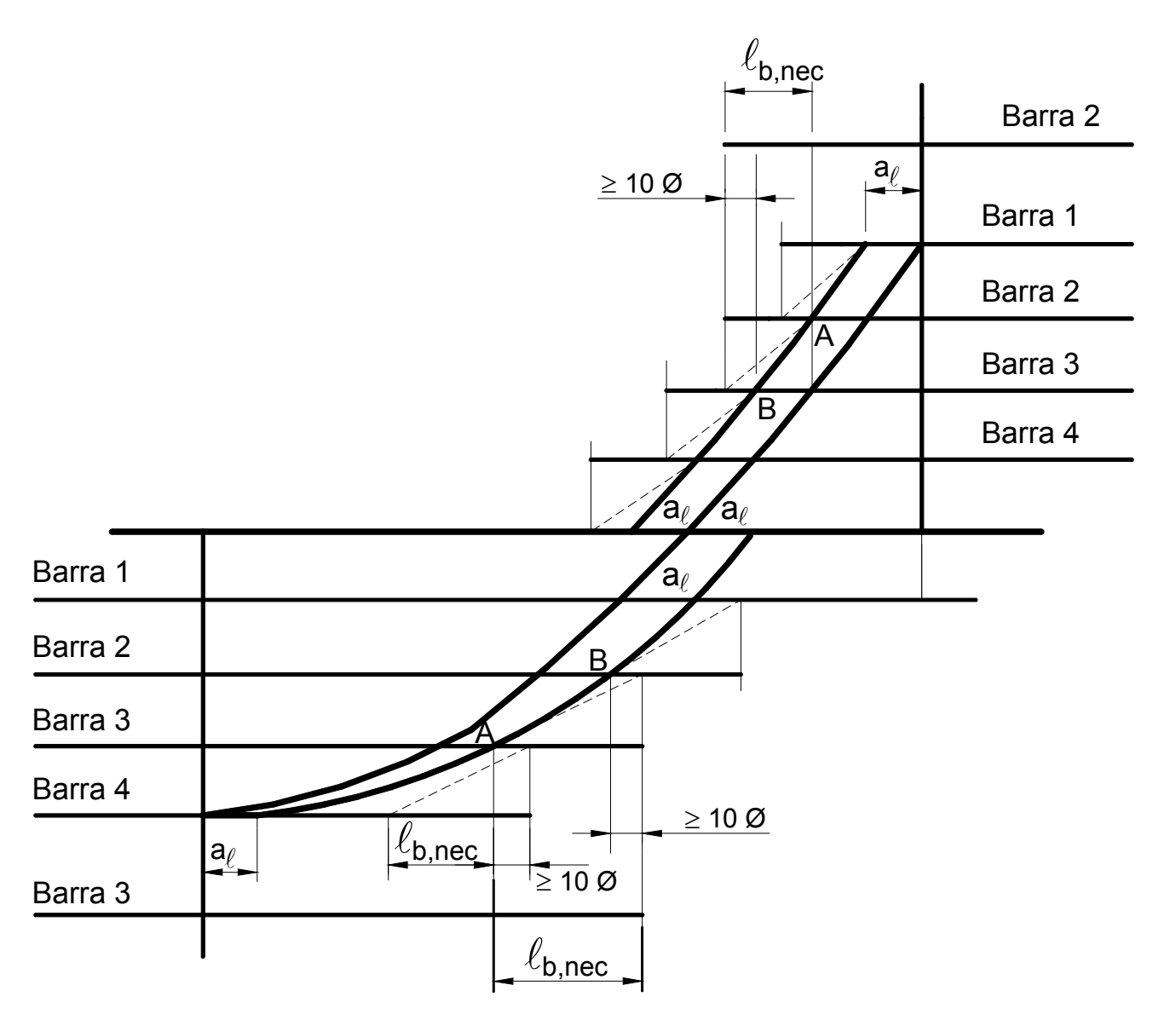


Figura 29 – Cobertura do diagrama de forças de tração solicitantes pelo diagrama de forças resistentes.

## Exemplo para armadura positiva

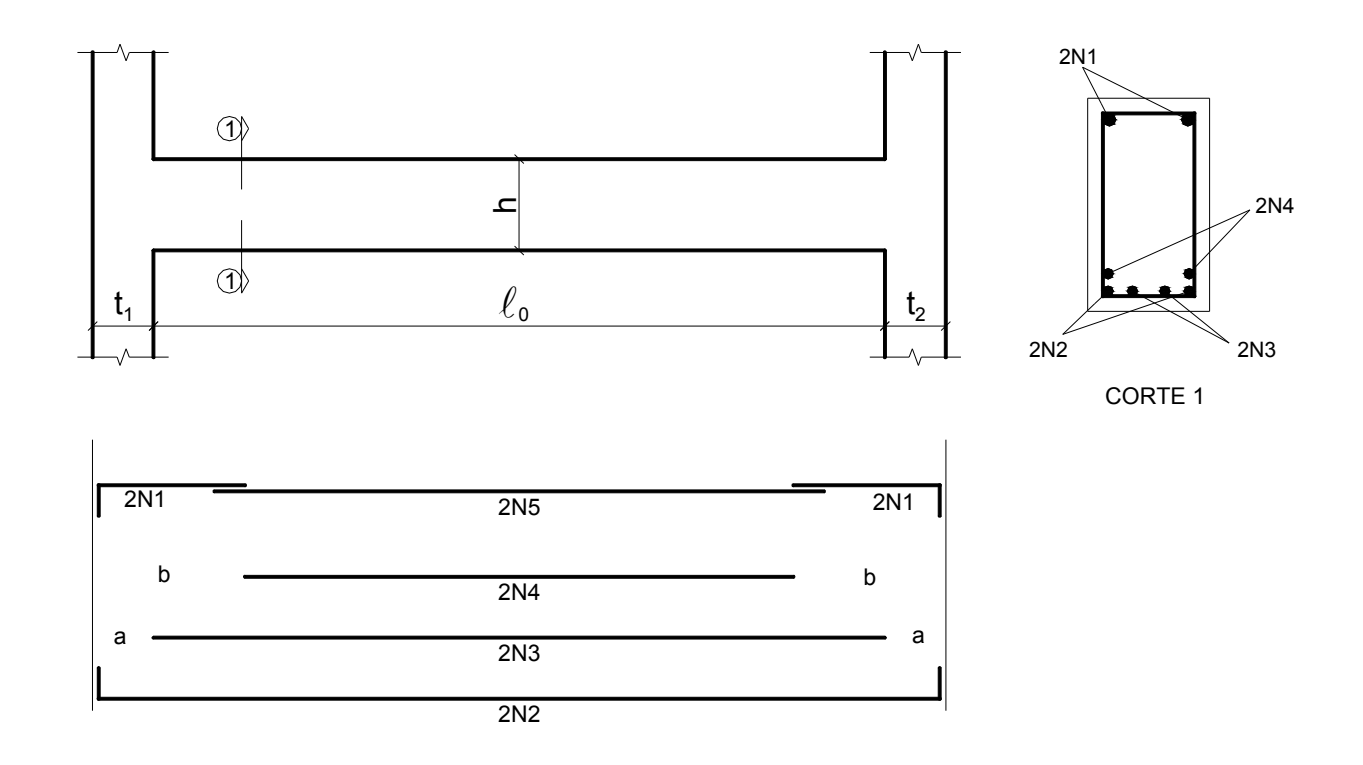
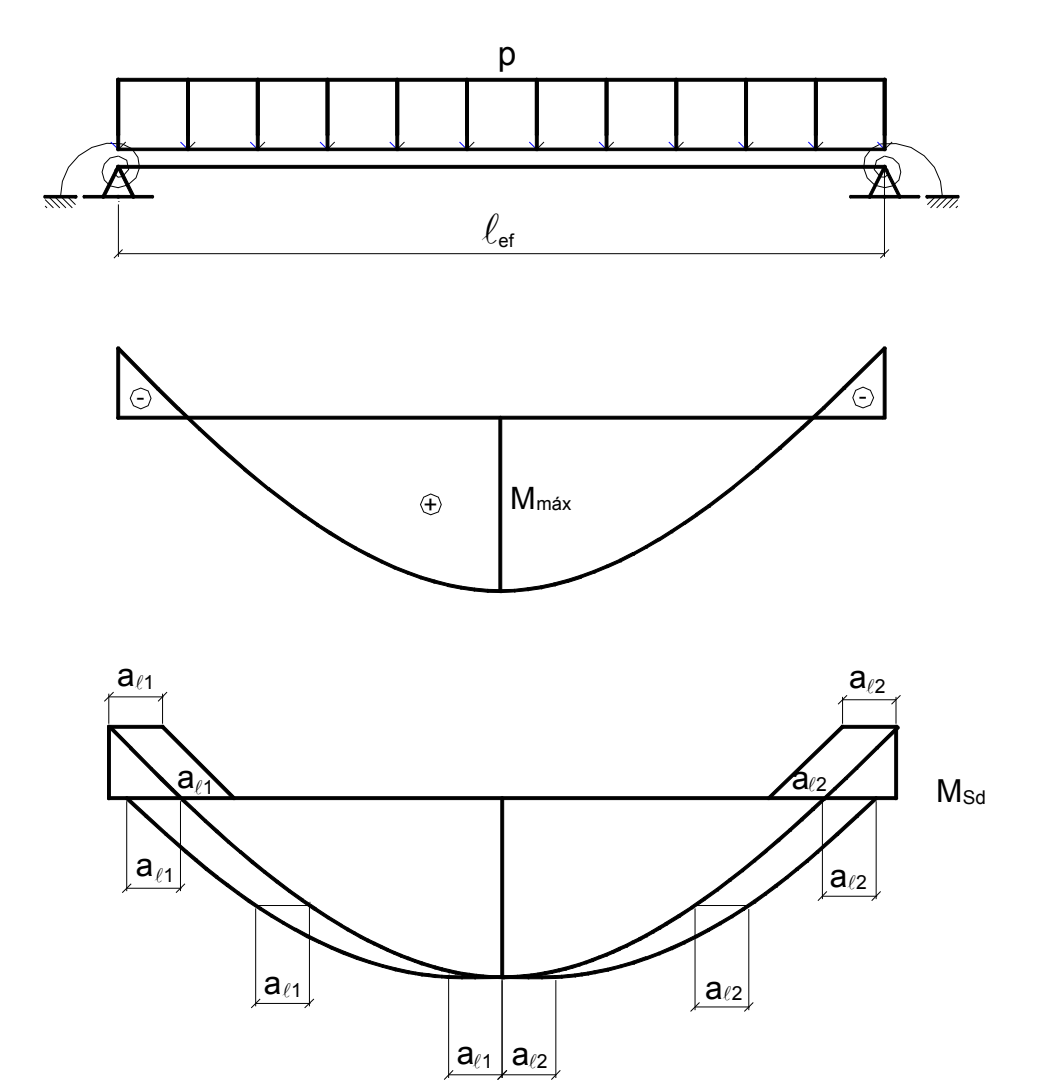


Figura 30 – Viga biapoiada para análise do cobrimento do diagrama de momentos fletores positivos.



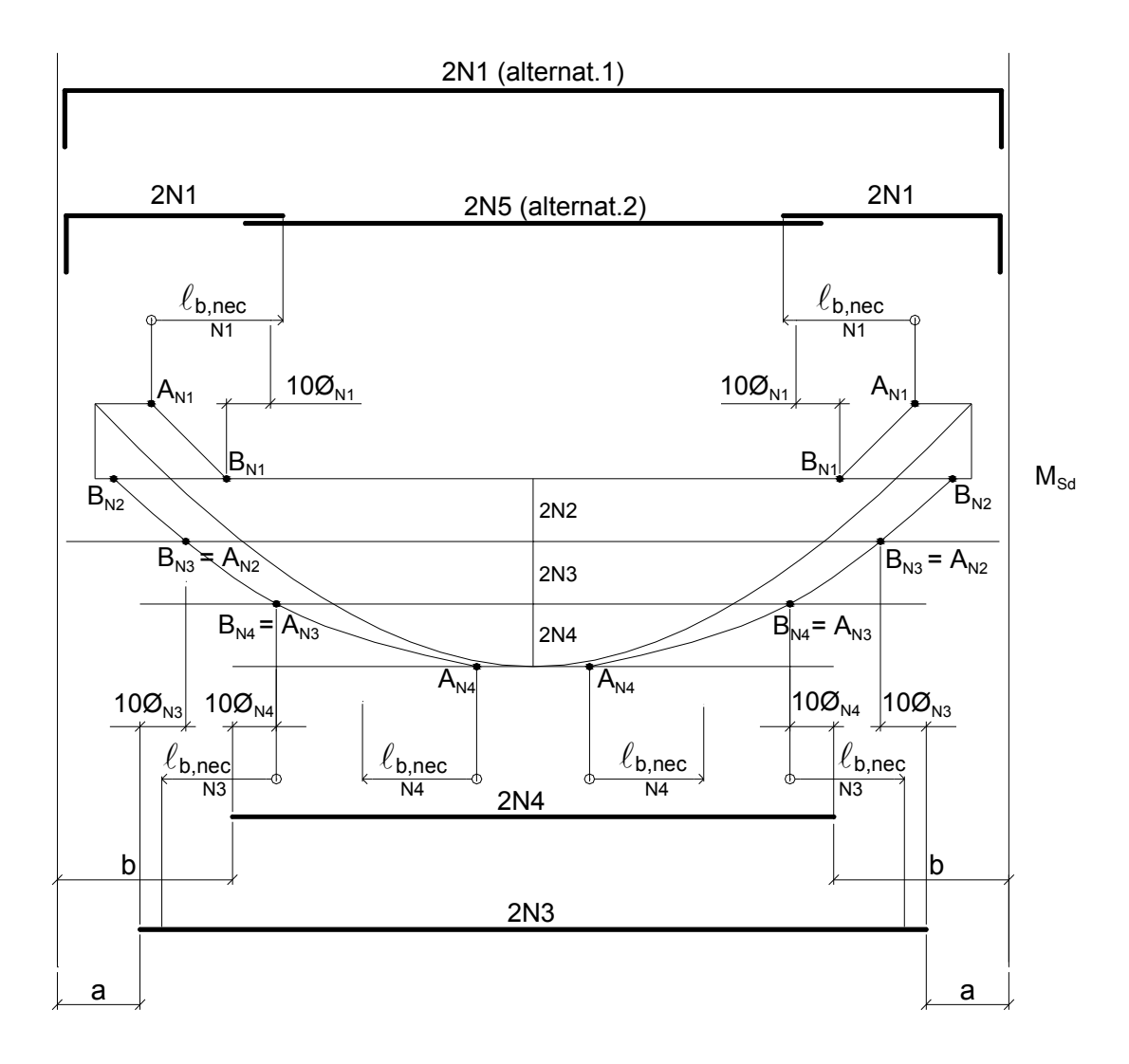


Figura 31 – Cobrimento do diagrama de momentos fletores positivos em uma viga biapoiada simétrica.

#### Exemplo para armadura negativa

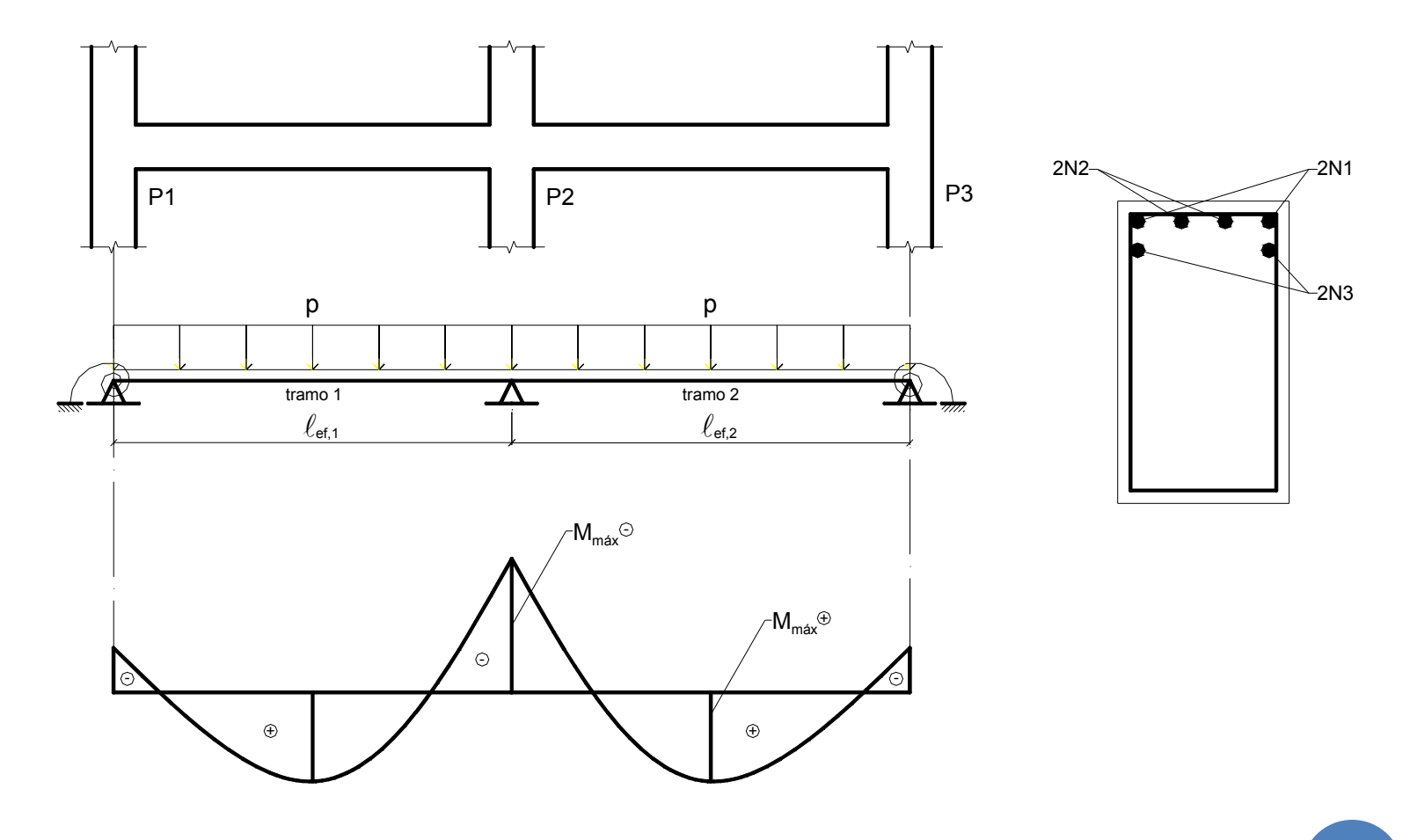


Figura 32 – Viga para análise do cobrimento do diagrama de momentos fletores negativos no apoio P2.

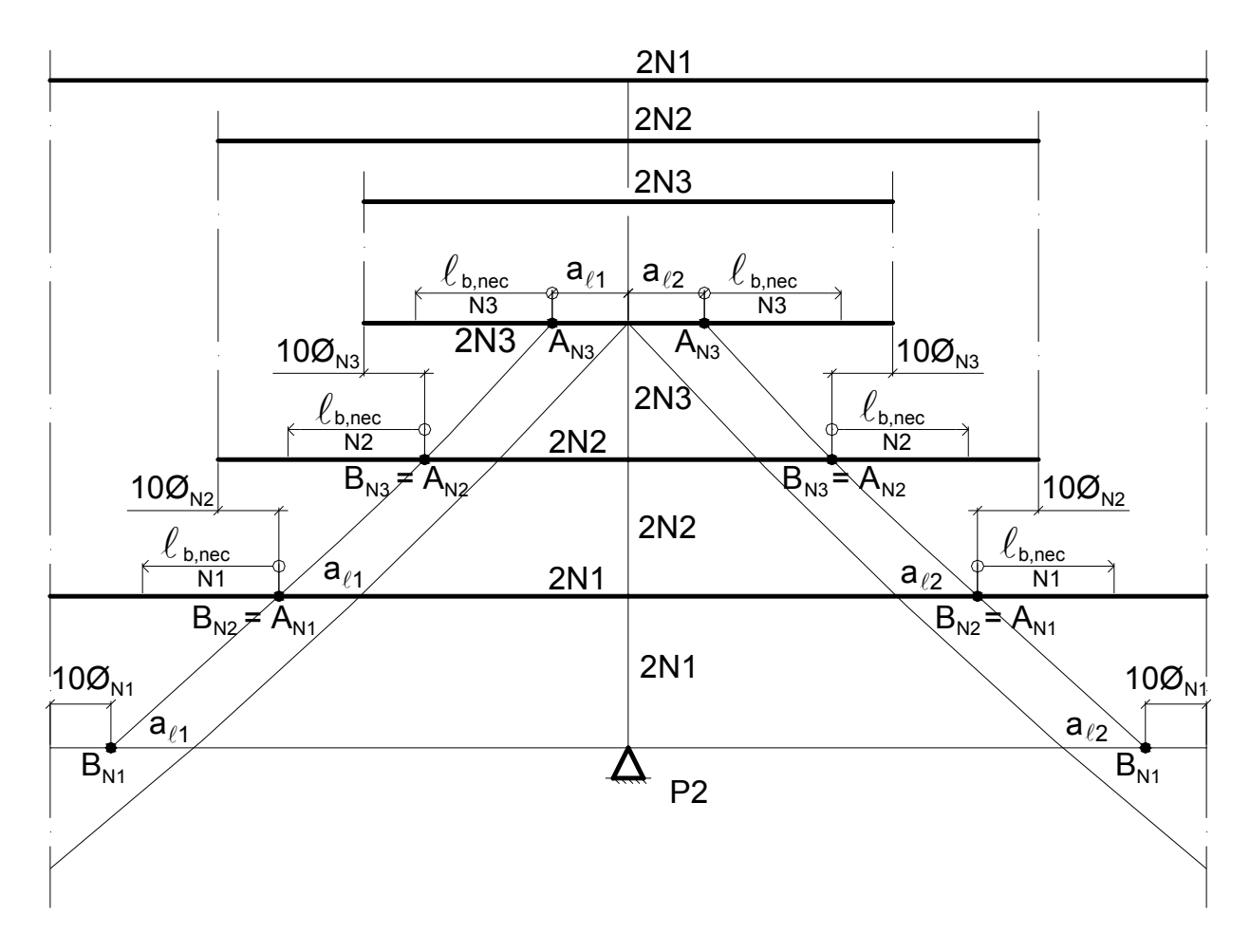


Figura 33 – Cobrimento do diagrama de momentos fletores negativos no apoio intermediário P2.

## 7.3 Armadura Tracionada nas Seções de Apoio

## 7.3.1 Apoio com Momento Fletor Positivo

Neste caso a armadura deve ser dimensionada para o esforço nessa seção. A ancoragem da armadura no apoio deve atender aos critérios apresentados na Figura 29 (item 7.1).

# 7.3.2 Armadura Positiva em Apoios Extremos de Vigas Simples ou Contínuas

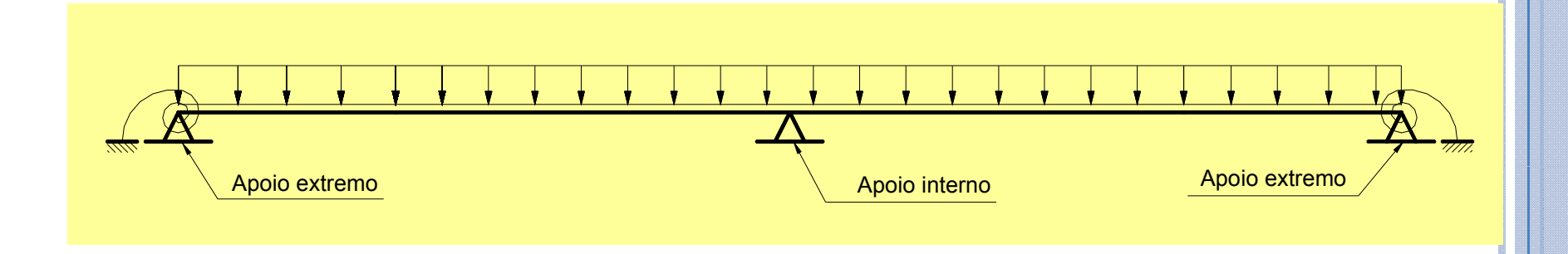


Figura 30 – Definição de apoios extremos e internos de vigas.

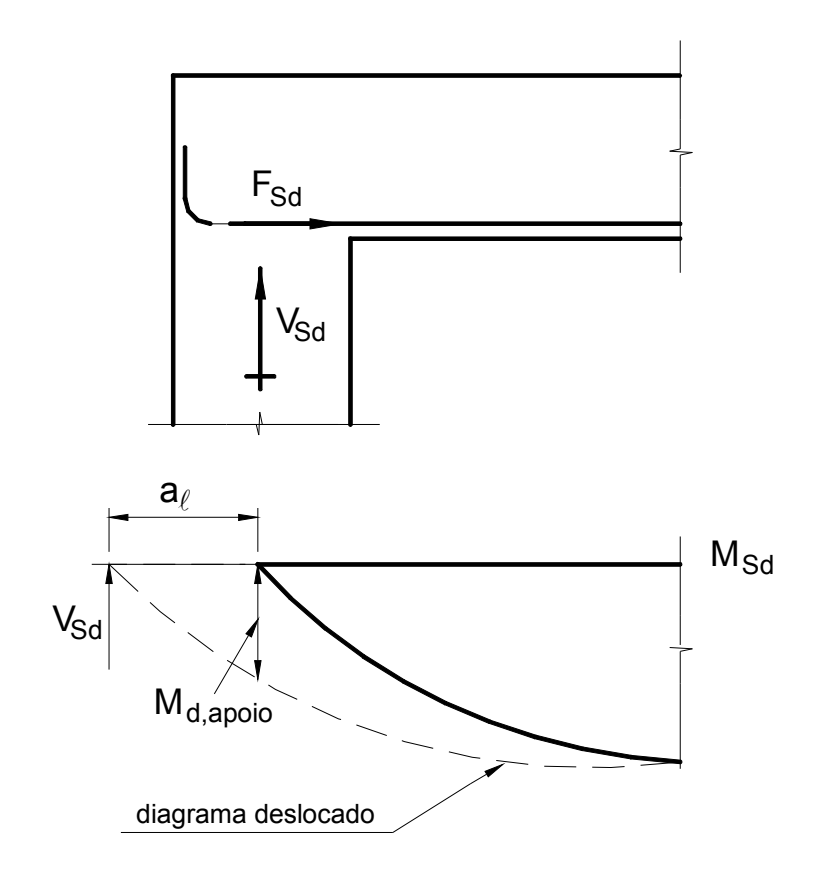


Figura 35 – Momento fletor no apoio devido ao deslocamento  $a_{\ell}$  do diagrama.

Nos apoios extremos, devido ao deslocamento do diagrama de momentos fletores  $(a_{\ell})$ , surge uma força de tração  $R_{Sd}$  na seção de apoio, correspondente ao momento fletor, dado por:

$$\mathbf{M}_{d,apoio} = \mathbf{V}_{Sd}$$
 .  $\mathbf{a}_{\ell}$ 

### Sendo:

$$M_{d,apoio} = F_{Sd} \cdot z$$

e  $z \approx d$ , fica:

$$F_{Sd} = \frac{a_{\ell}}{d} \, V_{Sd}$$

Para proporcionar resistência à força de tração no apoio  $(F_{Sd})$  é necessário colocar uma armadura, a ancorar no apoio  $(A_{s,anc})$ :

$$A_{s,anc} = \frac{F_{Sd}}{f_{yd}} = \frac{1}{f_{yd}} \left( \frac{a_{\ell}}{d} V_{Sd} + N_{Sd} \right)$$

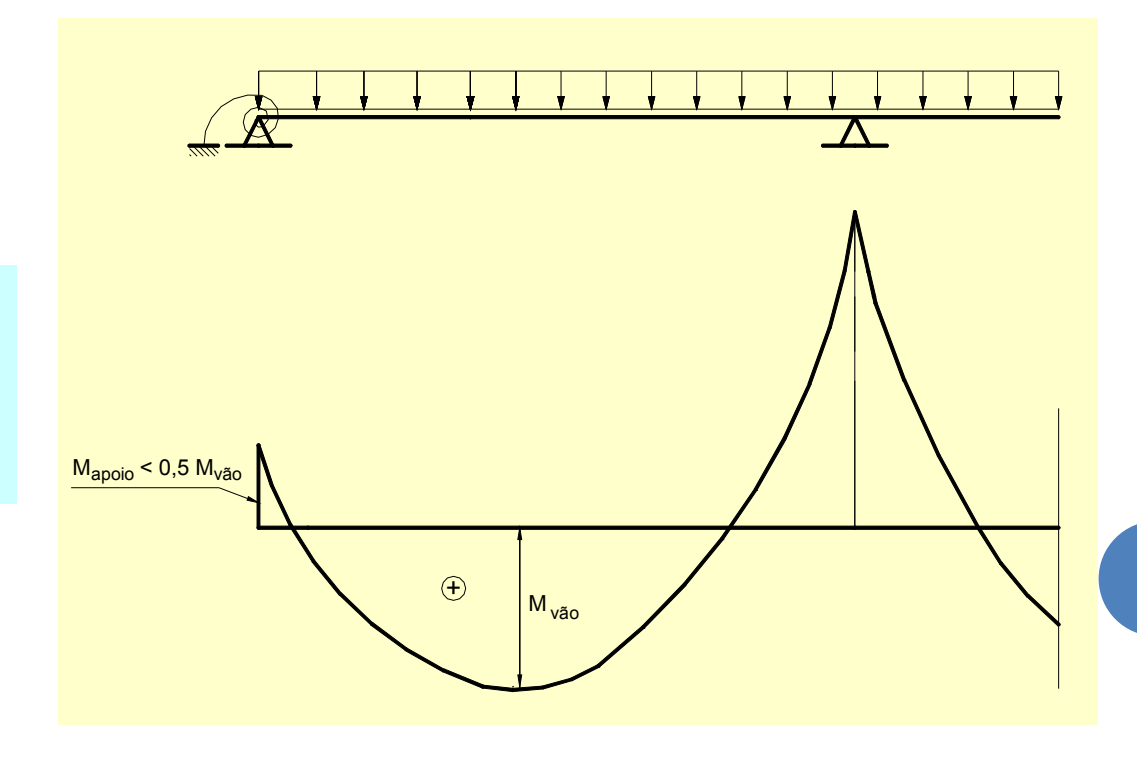
Se a força normal for nula  $(N_{Sd} = 0)$ :

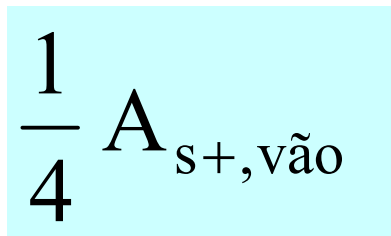
$$A_{s,anc} = \frac{a_{\ell}}{d} \, \frac{V_{Sd}}{f_{yd}}$$

A armadura positiva a ancorar no apoio deve ser composta por no mínimo duas barras da armadura longitudinal, e deve atender:

$$A_{s,anc} \ge \begin{cases} \frac{1}{3} \, A_{s+,v\tilde{a}o} & \text{se } M_{apoio} = 0 \text{ ou negativo de valor } \left| M_{apoio} \right| \le \frac{M_{v\tilde{a}o}}{2} \\ \frac{1}{4} \, A_{s+,v\tilde{a}o} & \text{se } M_{apoio} = \text{negativo e de valor } \left| M_{apoio} \right| > \frac{M_{v\tilde{a}o}}{2} \end{cases}$$

$$\frac{1}{3}A_{s+,v\tilde{a}o}$$





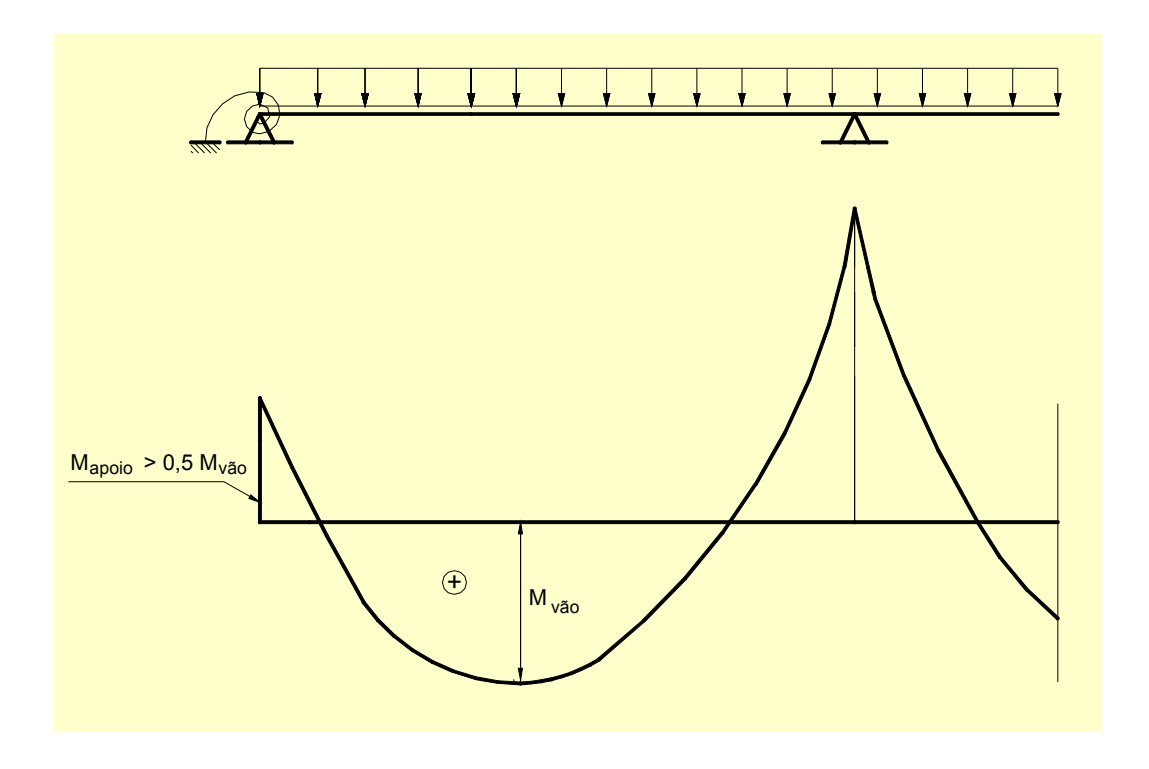


Figura 36 – Armadura mínima a ancorar no apoio extremo de vigas.

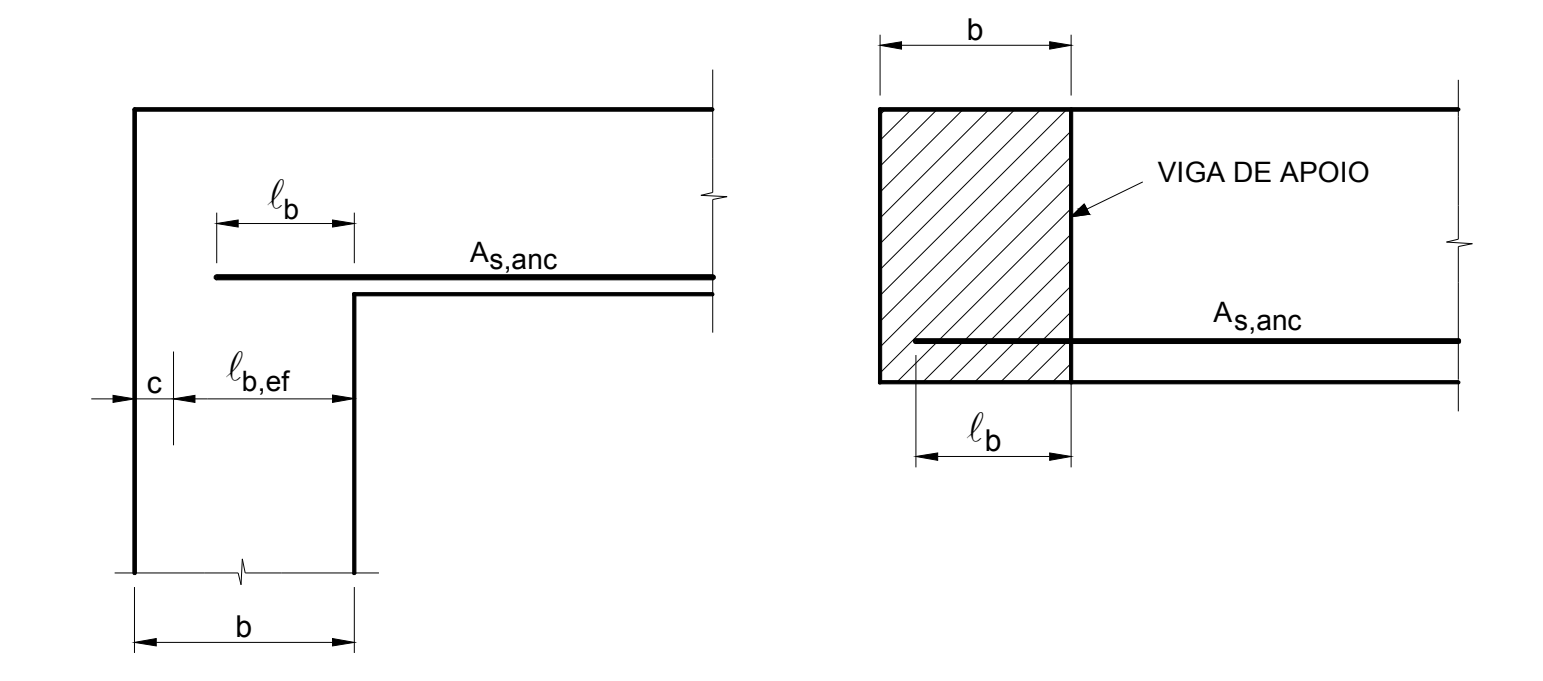
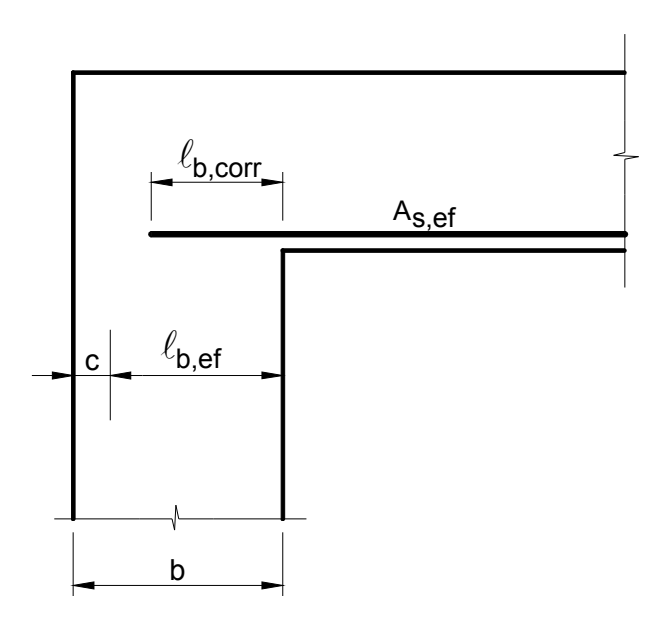


Figura 38 – Ancoragem reta da armadura longitudinal calculada segundo o comprimento de ancoragem básico nos apoios extremos.

$$\ell_{b,corr} = \ell_b \frac{A_{s,anc}}{A_{s,ef}}$$

$$\ell_{b,corr} \ge \ell_{b,min} \ge \begin{cases} r + 5,5 \, \phi \\ 6 \, cm \end{cases}$$



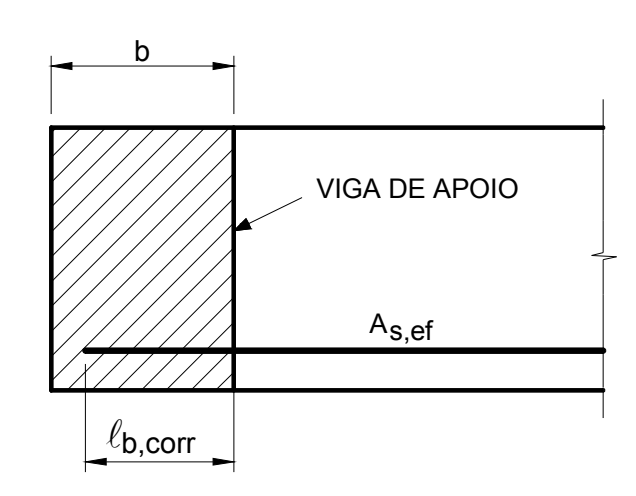


Figura 39 – Correção do comprimento de ancoragem básico para comprimento de ancoragem corrigido em função de diferenças entre a armadura calculada e a armadura efetiva.

$$\ell_{\text{b,gancho}} = 0.7 \ \ell_{\text{b}} \ \frac{A_{\text{s,anc}}}{A_{\text{s,ef}}} \quad ou \quad \ell_{\text{b,gancho}} = 0.7 \ \ell_{\text{b,corr}} \ge \begin{cases} r + 5.5 \ \phi \\ 6 \ \text{cm} \end{cases}$$

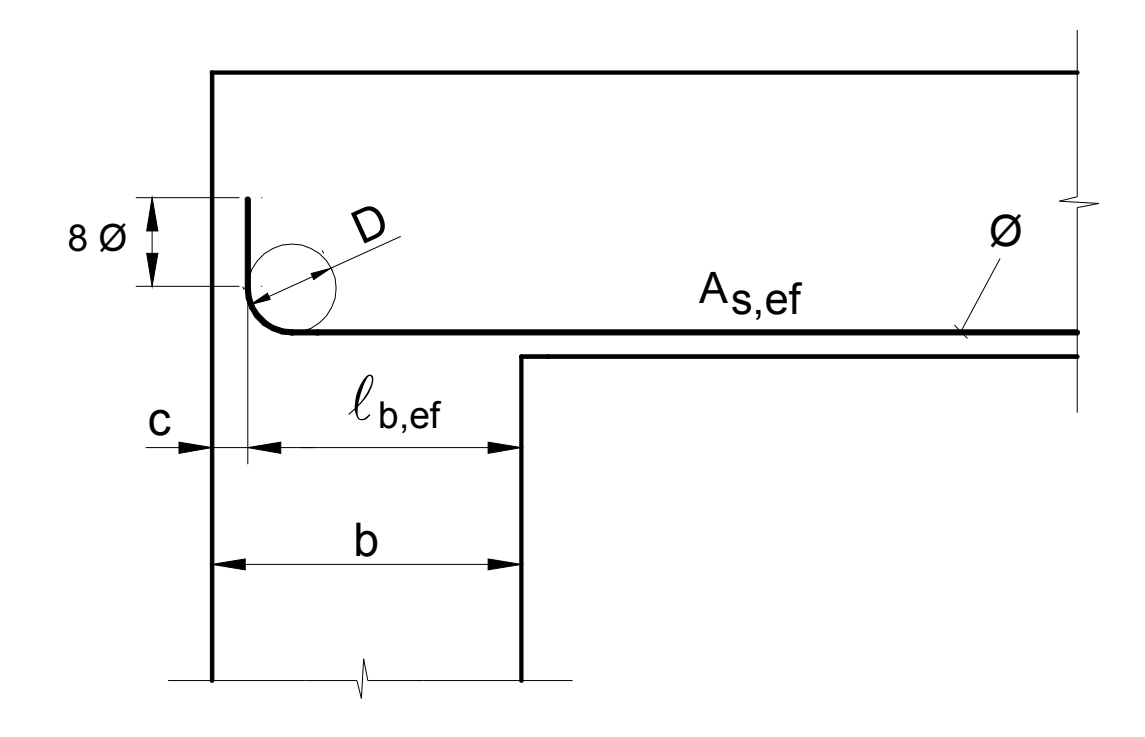


Figura 40 – Ancoragem com gancho quando o comprimento de ancoragem efetivo do apoio é menor que o comprimento de ancoragem reto.

$$A_{s,corr} = \frac{0.7 \, \ell_b}{\ell_{b,ef}} A_{s,anc}$$

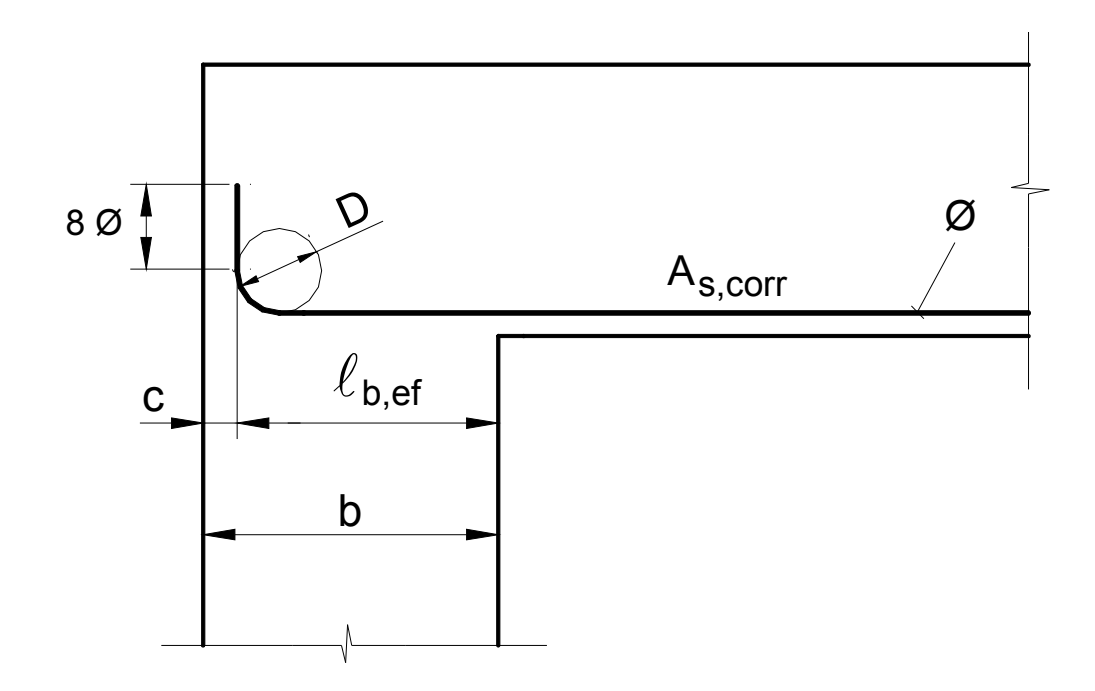


Figura 41 – Acréscimo de armadura longitudinal ancorada no apoio para  $A_{s,corr}$  quando o comprimento de ancoragem efetivo do apoio é menor que 68 comprimento de ancoragem com gancho.

$$A_{s,gr} = A_{s,corr} - A_{s,ef}$$

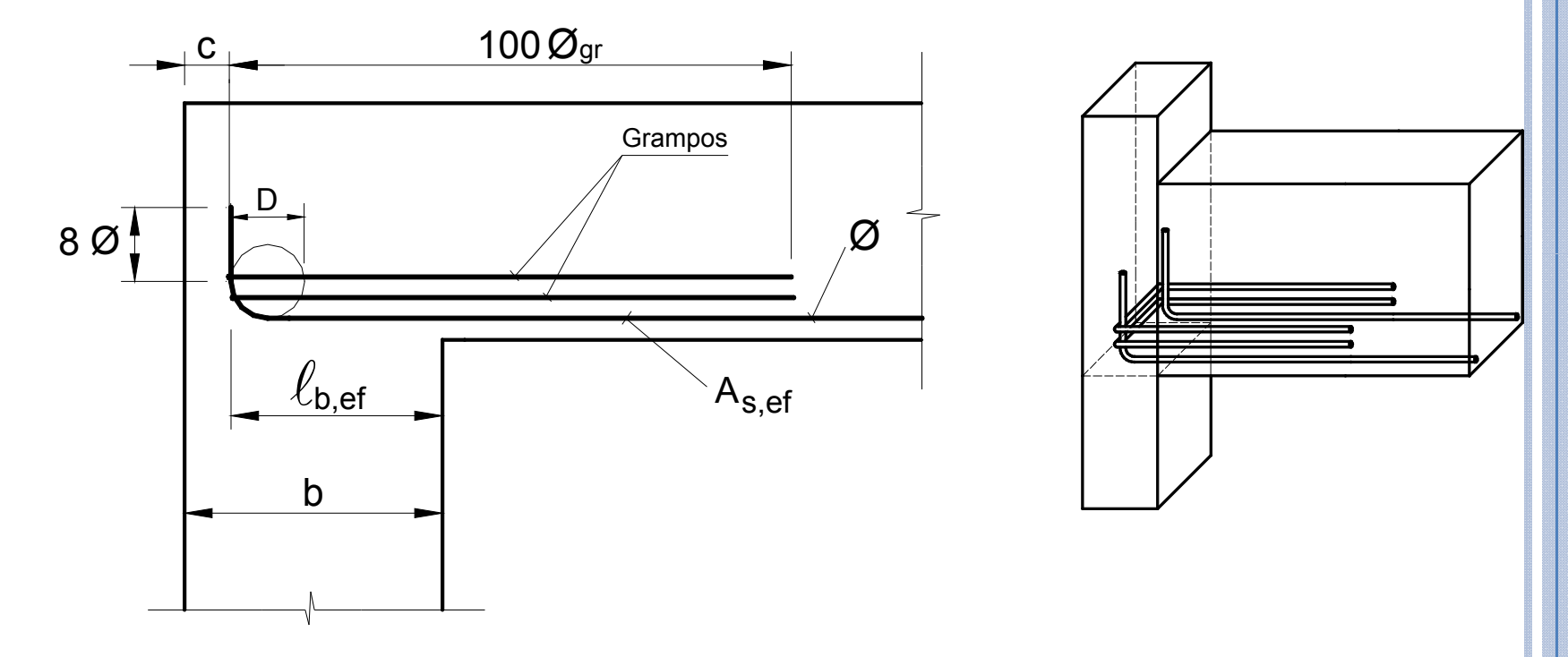


Figura 42 – Ancoragem em apoio extremo com a utilização de grampos e armadura longitudinal efetiva com gancho.

# 7.3.3 APOIO INTERMEDIÁRIO DE VIGAS CONTÍNUAS

$$A_{s,anc} \ge \begin{cases} \frac{1}{3} A_{s+,v\tilde{a}o} & \text{se } M_{apoio} = 0 \text{ ou negativo de valor } \left| M_{apoio} \right| \le \frac{M_{v\tilde{a}o}}{2} \\ \frac{1}{4} A_{s+,v\tilde{a}o} & \text{se } M_{apoio} = \text{negativo e de valor } \left| M_{apoio} \right| > \frac{M_{v\tilde{a}o}}{2} \end{cases}$$

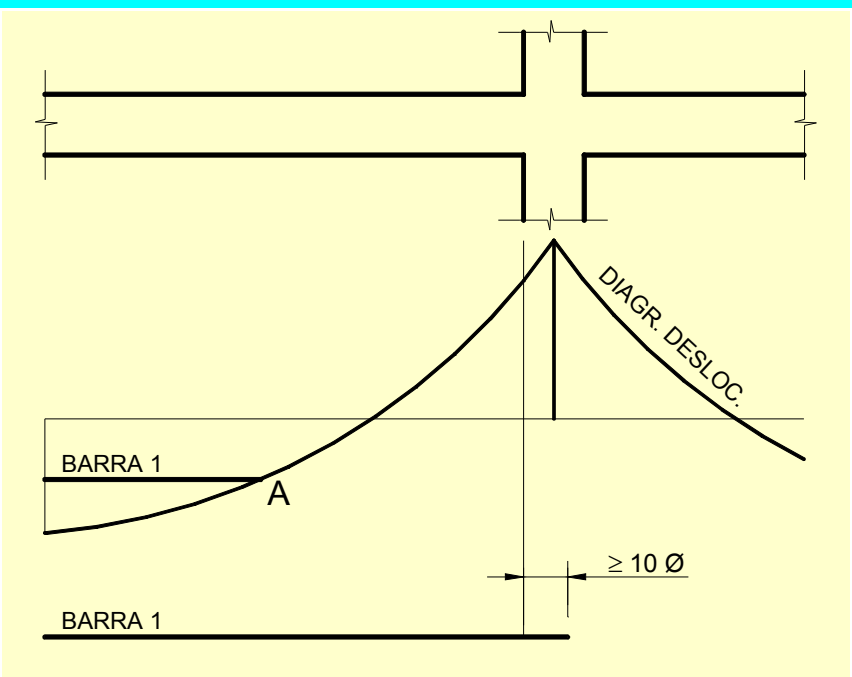


Figura 44 - Ancoragem da armadura longitudinal em apoios intermediários com o ponto A fora do apoio.

# 7.3.4 Ancoragem de Armadura Negativa em Apoios Extremos

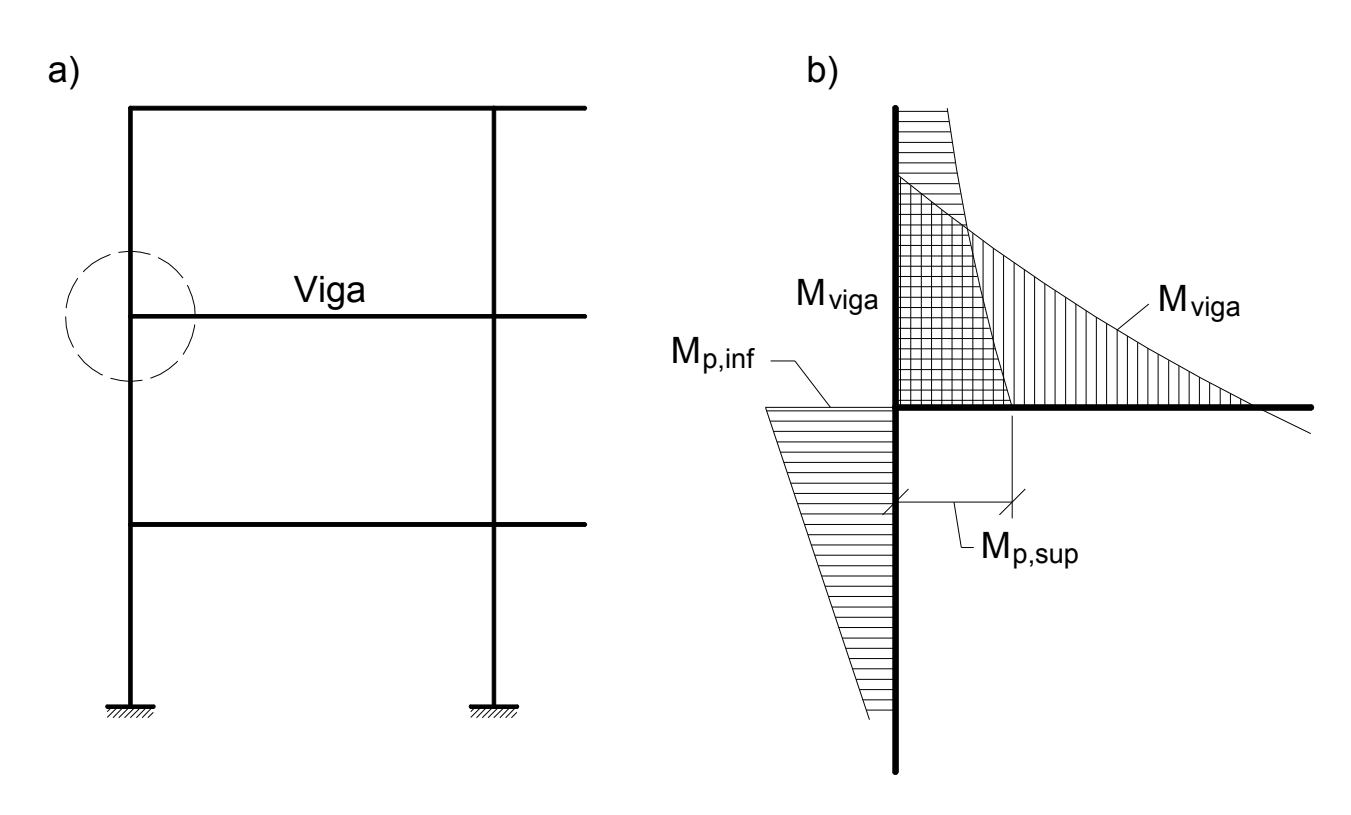


Figura 45 – Momentos fletores em nó extremo de pórtico. (Leonhardt e Mönnig, 1982).

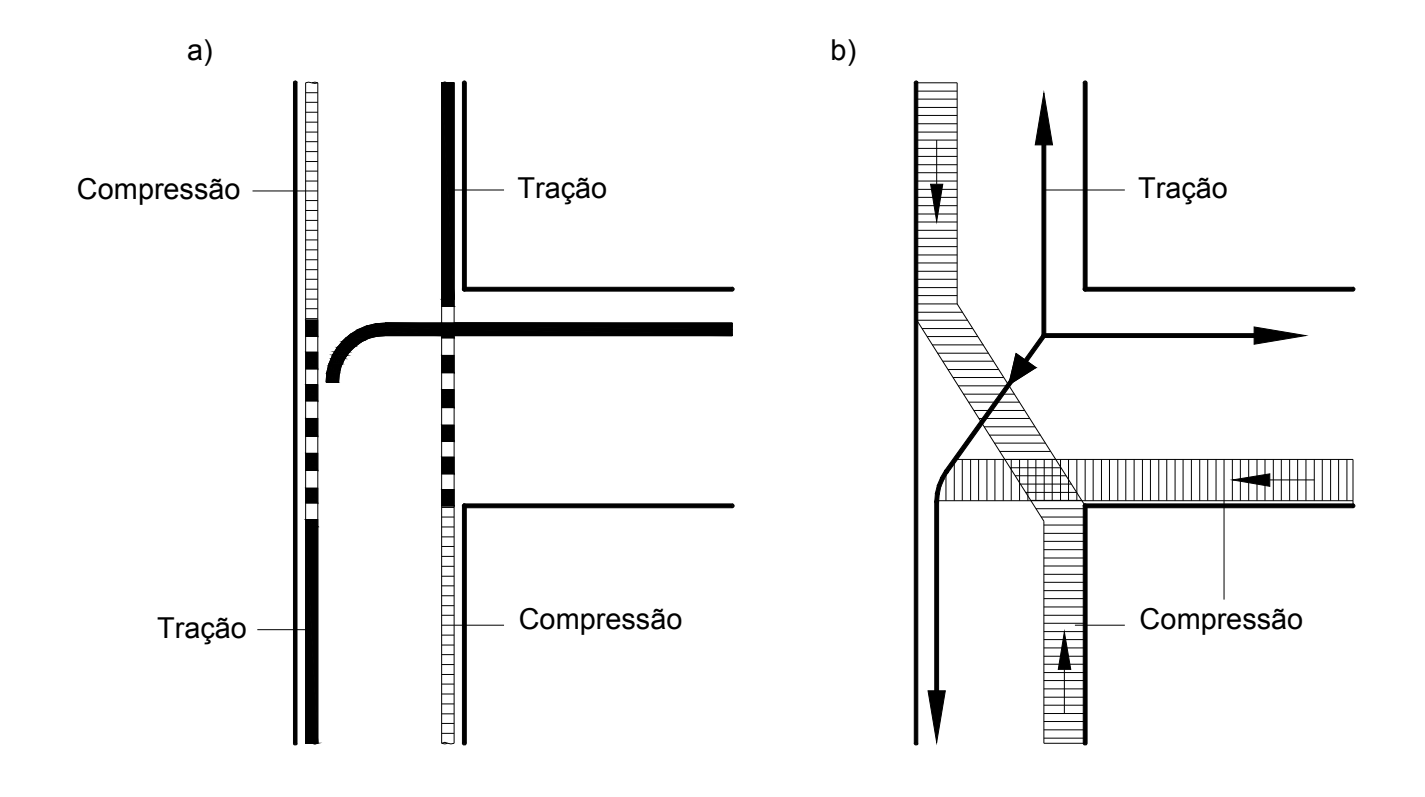


Figura 46 – Direção das tensões de compressão e tração em nó extremo de pórtico (Leonhardt e Mönnig, 1982).

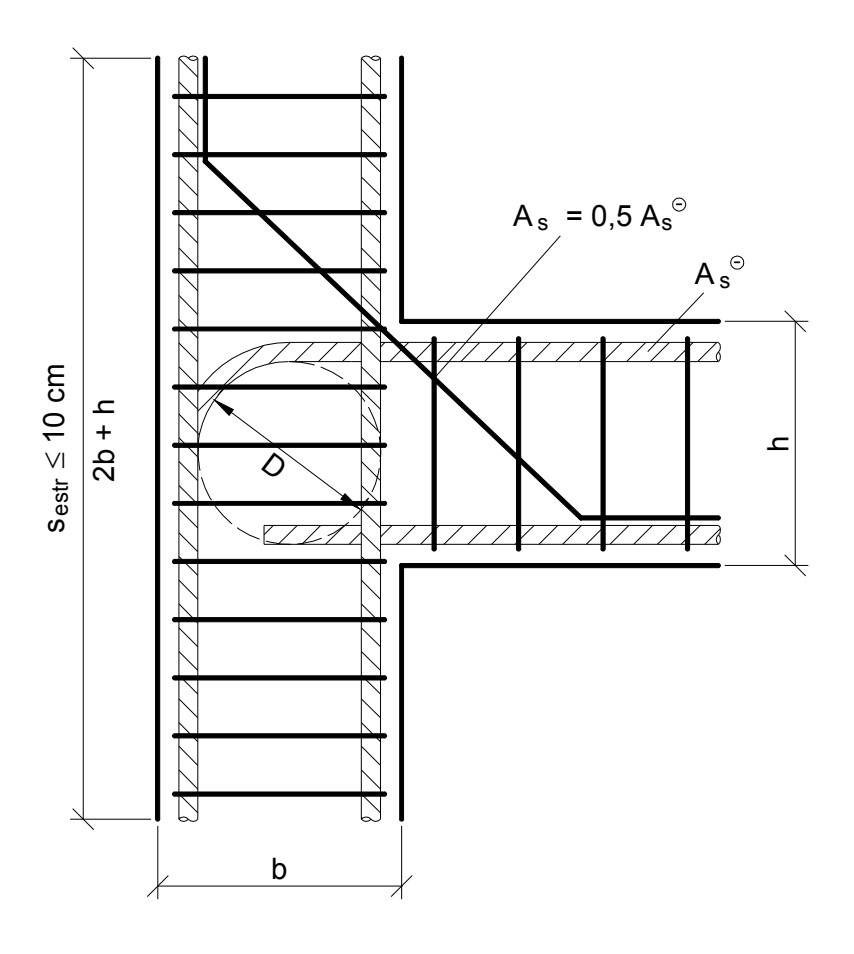


Figura 47 – Detalhamento indicado por LEONHARDT e MÖNNIG (1982) para a armadura negativa da viga em nós de pórtico.

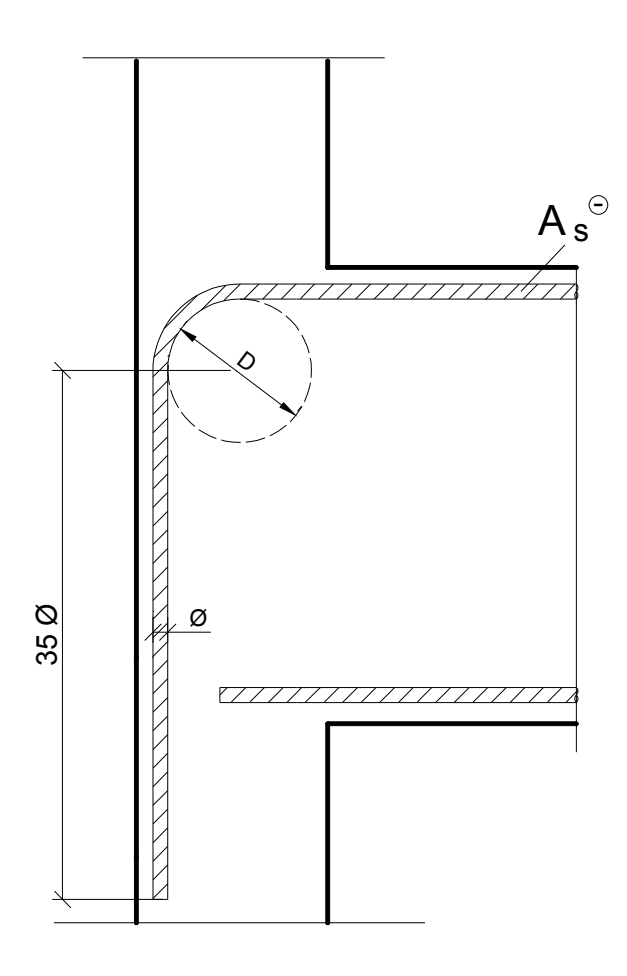


Figura 48 – Comprimento do gancho da armadura negativa dentro do pilar, conforme LEONHARDT e MÖNNIG (1982).